

# RAZZIES

Maandblad van de  
Radio Amateurs  
Zoetermeer

Oktober 2017

Met in dit nummer:

- CW en SSB
- Opa Vonk: I en Q
- MFJ 9320 modificatie (B)
- Afdelingsnieuws



## Colofon

RAZZies is een uitgave van de Radio Amateurs Zoetermeer. Bijeenkomsten van de Radio Amateurs Zoetermeer vinden plaats op elke tweede en vierde woensdag van de maanden september - juni om 20:00 uur in het clubhuis van de Midgetgolfclub Zoetermeer in het Vernède sportpark in Zoetermeer.

## Website:

<http://www.pi4raz.nl>

## Redactie:

Frank Waarsenburg  
PA3CNO  
pa3cno@pi4raz.nl

## Informatie:

[info@pi4raz.nl](mailto:info@pi4raz.nl)

Kopij en op- of  
aanmerkingen kunnen  
verstuurd worden naar  
[razzies@pi4raz.nl](mailto:razzies@pi4raz.nl)

## Nieuwsbrief:

[http://pi4raz.nl/maillist/  
subscribe.php](http://pi4raz.nl/maillist/subscribe.php)

## Van de redactie

Is het einde van de radiomarkten nabij? Ik vroeg het me af na het laatste bezoek aan de Lichtmis. Daar was het altijd druk, altijd veel aanbod, maar dit jaar was het significant anders. De markt leed aan het winkelcentrumsyndroom: zo'n 20% leegstand. Ik had nog nooit ongebruikte tafels gezien op de Lichtmis. En er leek gevoelsmatig ook minder bezoek te zijn. Ik besprak dat met een mede-amateur waarmee ik de markt bezocht, en die vond dat er ook weinig innovatie was. Nou is innovatie niet iets dat ik direct associeer met een radiomarkt, maar misschien zit daar wel wat in. De meeste amateurs lopen alles te bekijken en mopperen vervolgens dat het bij Ali Express minder dan de

helft kost. Maar ja, Ali hoeft niet naar Zwolle te rijden met een auto en standhuur te betalen. Aan de andere kant, als we allemaal zo reageren, zijn de radiomarkten over een paar jaar verleden tijd. Markten zijn voor zelfbouwers, en dat is een schaars volk aan het worden. Misschien zijn er ook wel teveel markten, ik weet het niet. Zelf vind ik de Lichtmis samen met Rosmalen een van de betere markten, maar dat komt omdat ik gek ben op historische apparatuur en onderdelen en dat vind je op beide markten genoeg. Maar als je er heen gaat om voor een "marktprijs" een goedkope porto te scoren, dan kan je waarschijnlijk beter in China terecht. Ik hoop niet dat een neerwaartse spiraal is ingezet, maar de voortekenen zijn niet goed...

## CW en SSB Wim Vuijk, PA0WV

### Inleiding

Je hoort in het algemeen dat CW meer verbindingen mogelijk maakt dan met SSB mogelijk zijn onder marginale condities.

Dat verbaast natuurlijk niet en is volstrekt geen wonder, want SSB is een spraakverbinding met tenminste 2,5 kHz bandbreedte, die bij DX bovendien nog een keer nagenoeg onverstaanbare accenten en taalmoeilijkheden kan opleveren, terwijl CW slechts een aan/uit geschakeld toontje is met een smalle bandbreedte van 150 Hertz of minder

(ruim 4 maal seinsnelheid in woorden per minuut is de bandbreedte in Hz) en tevens een vast vocabulaire heeft van pakweg 200 afkortingen waarmee conversatie al mogelijk is, op het niveau van een bevolking met een taal die 200 gebruikte woorden omvat, zoals Bonobo's. Kortom de gemiddelde zendamateur..

Dit artikel is bestemd voor echte zendamateurs, die zich willen ontplooiën door te experimenteren, te onderzoeken, zelf te bouwen en aldus tastend en denkend kennis proberen op te doen. Ik beschrijf als voorbeeld mijn moeizame stappen op die weg, ter leeringhe ende vermaeck.

Dit is een multimedia-artikel, dat wil zeggen dat u met uw PC via Internet geluidsbestanden kunt beluisteren die bij dit artikel behoren en zijn te vinden op:

<http://pa0wv.home.xs4all.nl/wav/>

achter de laatste breukstreep moet u dan de opgegeven bestandsnaam invullen. Hoofd- en kleine letters maakt verschil.

## Probleemstelling

Ik wil door experimenteren onderzoeken wat nu in dB en dus in zendvermogen, het verschil is tussen CW en SSB als je beide nog net zonder QRM in de ruis kunt opnemen.

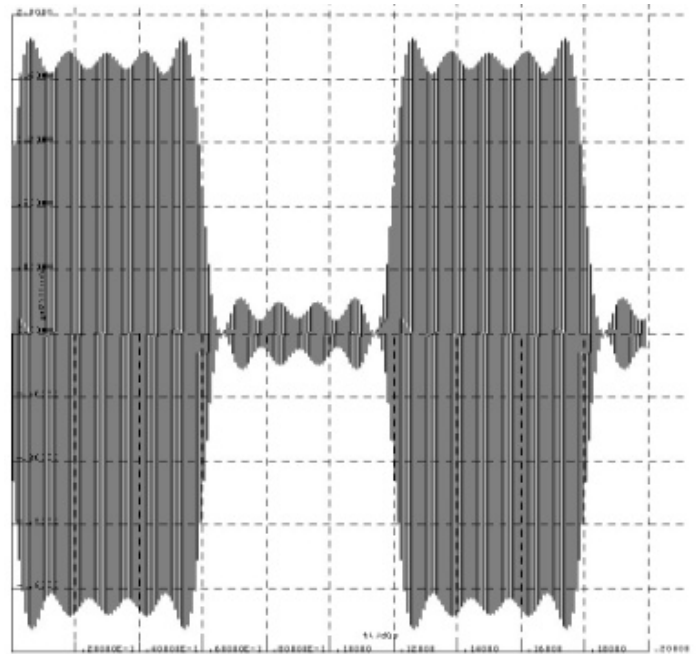
Elk S-punt meer is 6 dB en dat is 4 maal vereist antennezendvermogen.

## Te onderzoeken uitgangspunt

Een ruwe berekening wil ik verifiëren. Die berekening luidt als volgt:

Bandbreedte van SSB is 300 - 2800 Hz. Daarmee is spraak, dus pakweg 140 woorden per minuut (wpm) mogelijk, zoals: "Alfa bravo charlie delta echo foxtrot" in plaats van in Morse: abcdef.

CW vereist bij 20 wpm - dat is een datasnelheid iets lager dan 17 bits/s - dan hooguit 150 Hz bandbreedte op de band, dat is al zeer ruim geschat, omdat je dan van een blokvormige aan/uit modulatie van 8,3 Hz, zijnde de halve datasnelheid, t/m de negende harmonische van de modulerende frequentie in AM modulatie van de draaggolf meeneemt. De vuistformule die luidt: ruim 4 maal de seinsnelheid in wpm is de bandbreedte in Hz, gaat kennelijk tot en met de vijfde harmonische als vereiste bandbreedte. 150 Hz bandbreedte is dus voldoende voor ruim 35 wpm. Tot en met de negende harmonische meenemen bij 20 wpm betekent een overgang van 0 naar volle zendvermogen in 8 ms, terwijl een morsepunt (dit), evenals de spatie tussen de punten, dan 60 ms duurt gemeten op de halve zendamplitude. De figuur boven aan de volgende bladzijde geeft een dergelijk HF Morsesignaal bestaande uit een reeks punten (dits) in grafiek weer.

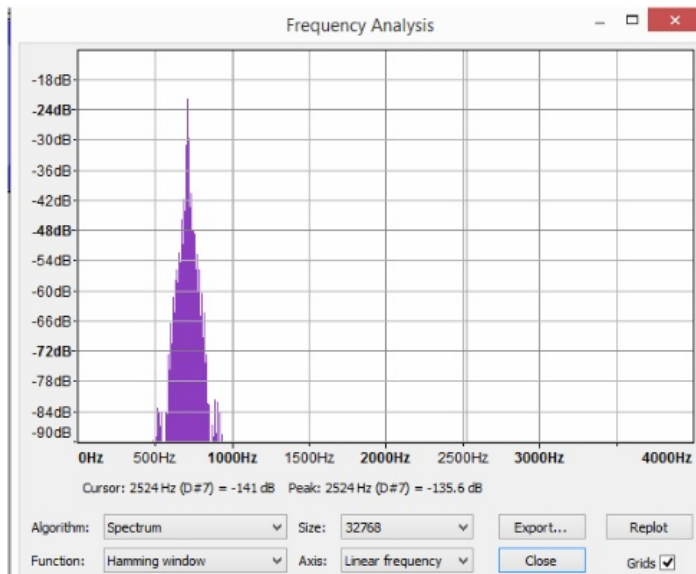


Aan die flanksteilheid van de omhullende moet je dan dus voldoen; trager mag korter niet, om binnen de bandbreedte te blijven. Dan heb je een mooi schoon signaal zonder sleutelklik. Een bijna aldus gevormd geluidsbestand dat in Morsecode de letters abcdef met een snelheid van 20 wpm bevat met 712 Hz toonhoogte kunt u horen op de eerder in de inleiding genoemde link door abcdef.wav aan te klikken.

De stijg- en daaltijden van dit signaal zijn cosine squared dat wil zeggen dat de flanken van de omhullende verlopen zoals een sinus van minimum naar maximum of omgekeerd verloopt, met in dit voorbeeld een duur van 10 ms.

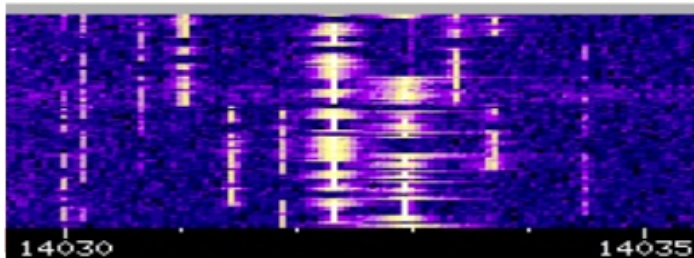
Het spectrum van dit signaal, bepaald door de fast Fourier transform die in het op Internet te vinden freeware programma Audacity zit ingebouwd, met 16 bits samples van de wavfile abcdef.wav, 8000 samples/s mono is met smoothing window type Hamming afgebeeld boven aan de volgende bladzijde.

Dat levert dus een eerste voordeel qua bandbreedte en dus signaalruisverhouding van 2500 Hz/150 Hz in vermogen als je een CW-filter gebruikt, oftewel 12,2 dB, omdat het ruisvermogen evenredig met de bandbreedte toeneemt. Het signaalvermogen wordt immers onverzwakt doorgelaten door het filter en van



het ruisvermogen dat over 2,5 kHz evenredig verspreid is, wordt alles buiten de smalle doorlaatband van het filter niet doorgelaten.

Een jappenbak heeft CW als optie, soort ondergeschoven kindje c.q. koekoeksjong, waardoor je jezelf kunt onderscheiden van een brekiebreekietokkelCeeBeejer, die geen CW optie kent. Men werkt echter in de jappenbak met SSB als standaard, dus de eindtrap is een linear oftewel instelling klasse AB, en die heeft een rendement van minder dan 50%, of je nu CW werkt of niet dat blijft zo terwijl dat voor CW helemaal niet nodig is. Helpen doet het trouwens niet, want als ik naar een plaatje kijk van een waterfall display (verticaal is de tijd as en horizontaal de frequentie-as) op een contest weekend, sorry tautologie, elk willekeurig week-einde, dan zie ik als spectrum van de jappenbakken in de CW stand:



Je ziet duidelijk dat een paar van die koopbakken schandalig brede spectra maken met CW en dat dit absoluut onnodig is, blijkt uit andere CW-signalen in het plaatje.

Een zender die uitsluitend voor CW of FM

ontworpen is heeft echter een eindtrap in klasse C; van de sturing wordt slechts het signaaldeel boven niveau 0,5 van de topwaarde gebruikt als de top van de sinus 1 is. De openingshoek is dan slechts 120 graden van de 360 graden van een sturende sinus. Dat is dus geen linear maar een non-linear eindtrap. Het rendement van zo'n eindtrap is dan 80%. Oftewel ten opzichte van SSB, met minder dan 50% rendement 2 dB extra.

Totaal zitten we nu er als tussenresultaat op, dat CW al 14,2 dB beter is dan SSB, bij dezelfde input van de zender eindtrap, mits je een CW filter gebruikt bij de ontvanger, en in CW niet gaat uitspellen "Alfa brave Charlie", wat je ruim een factor 7 in snelheid scheelt, zodat er van die spraaksnelheid van 140 wpm een gebruikelijke CW snelheid van 20 wpm overblijft; en de eindtrap, die uiteraard zelfbouw is bij de bekende definitie van "echte" zendamateurs, in klasse C staat. Goed voor de meleu-hype trouwens. Deze verhouding tussen spellen met spraak of zenden met Morse blijkt trouwens ook uit twee bestanden kanweg.wav en cw.wav te beluisteren op de genoemde URL die respectievelijk het navoalfabet nagenoeg spatieloos uitsprekt in krap 17,7 seconde en (omdat het 290 dits zijn) in dezelfde tijd het in morse seint met 19,7 wpm. Bij 19,7 wpm speel je dus quitte. Logisch ook want het seinen van dahdit duurt beslist korter dan het zeggen van "november".

Een geluidsbestand met alfa t/m zoeloe duurt dan dus even lang als een morseuitzending met a t/m z. Ik ga er hierbij voor de duidelijkheid van uit, dat je aan de grens zit wat signaal ruisverhouding betreft en je dus je over te brengen bericht moet spellen in SSB.

### PEP, piekvermogen en gemiddeld vermogen

Gemiddeld vermogen wordt bij een sinus bepaald door de effectieve waarde van de spanning te nemen, dus de topwaarde van de spanning gedeeld door wortel 2. Bij een bemonsterd bestand, zoals een wav file kun je

die bepalen door het kwadraat van elke monster te nemen en te vermenigvuldigen met de tijd tussen twee monsters, dat geeft voor de hele file opgeteld de energie die geleverd zou worden in 1 ohm als je voor de monstergrootte de eenheid Volt neemt, en door te delen door de speelduur van het bestand heb je dan het gemiddelde vermogen  $P_g$  te pakken, dat is namelijk de gemiddelde geleverde energie per seconde.

Het piekvermogen van een sinus is het vermogen dat geleverd wordt op de piek van een sinus, en bij een bemonsterd bestand dus het kwadraat van de monsterwaarde maal de tijdsduur tot het volgende monster, dat is de energie en het piekvermogen volgt dan door net te doen of dat een seconde lang aanwezig zou zijn, met als resultaat dat het piekvermogen uitkomt op het kwadraat van de piekspanning. Voor de volledigheid: een en ander als een belasting van 1 ohm wordt aangehouden. In mijn betoog speelt die fictieve belasting geen rol, omdat het om vermogensverhoudingen gaat.

Een SSB zender kan lineair worden uitgestuurd tot de PEP, dan wordt een HF sinus geleverd met de piekwaarde als amplitude, die sinus levert dan PEP vermogen, dat is de helft van het zojuist beschreven piekvermogen. Bij CW gebeurt dat bij key down. Heb je een sterk gepiekt audiosignaal dan is er geen sprake van een sinus, de piek treedt in het audiogebied even op en de zender levert dan net zo lang een HF sinus met de maximale amplitude die de zender (legaal) kan leveren, dezelfde amplitude als bij CW en het vermogen dat die HF sinus dan levert is de PEP.

Om CW met SSB te vergelijken houden we de PEP waarden gelijk (volle zenderuitsturing in beide gevallen dus) en we kijken bij welke gemiddeld toegevoegde ruisvermogen over de gebruikte signaalspectrumbreedte het signaal nog net neembaar is.

Omdat we bij CW het ruisvermogen beperken tot een bandbreedte van 150 Hz moet ter eerlijke vergelijking de 150 Hz ruisvermogen

worden vermenigvuldigd met de factor 2500 Hz/150 Hz. Dat lijkt wellicht eerlijk maar dat is het weer niet, dat lijkt dus wel landspolitiek; en dat komt omdat ons gehoor en brein tezamen in staat zijn ruis van andere toonhoogte dan de CW, uit te sluiten. We hebben dus een CW filter in de hersenen zitten. Kortom we zijn evolutionair bestemd om CW als voorkeursmode te gebruiken, dus: **"Handen af van de CW banden"**.

Nu heb ik een jaar of wat terug een spraakopname gemaakt met een PC, die achterelkaar nagenoeg zonder adempauze het hele NAVO spellingalfabet opleutert. Daarvan heb ik destijds met een rekenprogramma de PEP en het gemiddelde vermogen  $P_g$  bepaald. Door de piekerige vorm van het spraaksignaal waarbij de pieken de zender net vol uitsturen is voor de PEP de effectieve waarde van het signaal gedurende de piekspanning gebruikt. Gedurende die audiopiekwaarde levert de zender immers meerdere HF sinusperioden met de maximale amplitude, en dus de PEP. Die verhouding bleek  $P_g/PEP = 4\%$  te zijn. Dat is uit het opgenomen geluidsbestand te bepalen door de piekamplitude en het gemiddelde vermogen van het bestand te berekenen.

Dat bedrag  $P_g/PEP$  vond ik onwaarschijnlijk laag, maar het geschreven programma is toen uitgebreid getest met een proefbestand van een minuut durende halve sinus, zodat je het geleverde resultaat ook analytisch kunt bepalen, en ook nog door het in korte stukjes van 0,8 seconde opdelen van de gemaakte spraakfile en de korte stukjes apart  $P_g/PEP$  te beoordelen teneinde een of andere stoorpuls die de PEP zou verhogen te kunnen elimineren. Hielp niet. En achteraf was dat ook zo gek niet omdat 4% vermogen 20% van de spanning is. En dat is wat je traditioneel op een scopebeeld, dat de spanning laat zien, van de omhullende van een spraaksignaal ongeveer ziet als verhouding van de geschatte gemiddelde waarde en de pieken van het spraaksignaal.

Bij CW kun je tijdens een uitzending de PEP ten

opzichte van het gemiddelde zendvermogen berekenen als zijnde 44%, omdat je tijdens een CW uitzending 44% van de tijd de sleutel indrukt en dan het volle zendvermogen zendt. Immers het representatieve standaardwoord PARIS is 50 dits lang, waarvan 22 dits key-down. Inmiddels is na jaren dat geluidsbestand niet eenvoudig terug te vinden en heb ik een nieuw aangemaakt voor de huidige proefnemingen. Op de eerder genoemde Internet-link is dat te vinden als navo8000.wav en met ingekorte woordspaties als kanweg.wav. Goed, we sturen de lineaire eindtrap zowel bij SSB als CW uit tot maximale zendvermogen en verliezen dan t.o.v. CW (44%)/(4%), dat is in dB: 10,4 dB zodat het verschil CW SSB alles tezamen uitkomt op 24,6 dB oftewel ruim een factor 288 in inputvermogen op de antenne.

Geen wonder dat met eenzelfde antenne een QRP'er met minder dan 4 Watt input in zijn simpele zelfbouwzendertje werkend op een batterij of kleine accu, bijgeladen met een zonnecel, of de XYL trappend met een fietsdynamo op het wiel, met CW meer kan bereiken dan de trotse eigenaar van, en leuterend in, zijn jappenbak met 1 kW PEP input.



Doorgaans is trouwens meer te bereiken en niet hetzelfde omdat ook de kans op QRM evenredig met de gebruikte bandbreedte toeneemt. Voor de vergelijking zorg ik er voor dat de PEP van CW en de PEP van SSB per spellingwoord bij het toevoegen aan de ruis dezelfde waarde

hebben, dat hadden ze immers aan de zendantenne ook. Voor een goede vergelijking zal ik bij SSB en CW dezelfde ruis toevoegen over een bandbreedte van 300 tot 2800 Hz, en vervolgens bij CW het smalbandige 150 Hz filter daarachter plaatsen. Dan impliceer je immers de wonderlijke eigenschap van je grijze hersenmassa die in staat is naar een toon te speuren en andere frequenties uit te sluiten en dat effect is dan ook te bepalen uit de ontvangstresultaten.

## De ontvangstpraktijk

Ik wil nu weten hoe lang een CW signaal neembaar is, vergeleken met een SSB signaal in de ruis. Ook als SSB gecomprimeerde audiosignalen bevat, na compressie beperkt tot 2,5 kHz audio bandbreedte. Mijn bovenstaande betoog was immers voor een lineaire SSB zender gedaan om Pg/PEP te bepalen. Pg is het gemiddelde vermogen. Die Pg/PEP is hoogfrequent dan precies hetzelfde als die van de audio uit de microfoon tussen 300 en 2800 Hz, omdat (USB) SSB genereren zonder audiocompressie slechts het verschuiven van het audiospectrum naar de zendfrequentie is. Is er wel audiocompressie dan is weer Pg/PEP van de audio dezelfde als aan de antenne kan worden gemeten vanwege de lineariteit.

## Aanvankelijke opzet

Daartoe was het aanvankelijk vanwege een andere opzet nodig dat ik een ruissignaal genereer met een bandbreedte van 300 tot 2800 Hz en een ruissignaal van 150 Hz breed, zo'n beetje de bandbreedte van commercieel beschikbare CW filters. Daar wordt dan een Morsesignaal centraal ingezet van 12 wpm, zodat elke klassieke zendamateur dat op het gehoor behoort te kunnen opnemen, en vervolgens wordt gekeken door diverse wav bestanden bij verschillende signaalruisverhoudingen, te publiceren op eham.net en andere websites van CW clubs, zoals sideswipernet.org, lcwo.net en de CW-archives mailinglist, waar een ploeg ervaren telegrafisten

te vinden is, welk van de bestanden die elk 4 groepen van 5 random niet gepubliceerde karakters bevatten, ze nog foutloos op het gehoor kunnen opnemen.

## Ruis

Van zogenaamde bandbegrensde witte ruis is voor ons amateurs bekend dat het tussen de twee bandgrenzen per Hz bandbreedte evenveel ruisenergie bevat. Dat wil dus zeggen dat je met een spectrum-analyser over die bandbreedte een vlak ruisspectrum, oftewel een horizontaal grasveldje vindt. De spectrum-analyserbeelden van je buurman zijn overigens altijd groener dan die van je eigen analyser. Binnen die bandbreedte zijn alle spectrumcomponenten dus even sterk. Een spectrumcomponent is een sinus van constante amplitude en fase, zoals het een sinus betaamt. Bekijken we op een bandbreedte van 1 Hz de ruis dan is bij benadering die sinus bijna constant want elke variatie of jitter in amplitude en fase is een vorm van amplitude- en fasemodulatie en die bevat dus bandbreedte in zijbanden en die is er bijna niet binnen 1 Hz.

De volgende stap is dus de gedachte dat je bandbegrensde witte ruis kunt maken tussen frequentie  $f_a$  en  $f_b$  door om de Hertz een sinus te genereren met constante aan de anderen gelijke amplitude en random gekozen constante fase voor elke frequente tussen en inclusief de bandgrensfrequenties  $f_a$  en  $f_b$ .

Geluidsbestanden voor een PC met suffix wav bestaan uit PCM (Puls Code Modulatie) monsters, die ga ik gebruiken, aanvankelijk en ook uiteindelijk met 8000 monsters per seconde. Geen MP3 bestanden dus, die weliswaar veel compacter zijn, maar die niet geschikt zijn om door ruis gemaskeerde signalen getrouw te reproduceren. Voor muziek wordt doorgaans 44100 monsters per seconde stereo gebruikt zodat je tot 22 kHz kunt weergeven, maar bij spraak en CW volstaan 8000 monsters/s mono ruimschoots, omdat je daarmee tot 4000 Hz audio mono kunt weergeven. Dat scheelt ruim

een factor 10 in grootte van het bestand en dus ook bestandsruimte op je PC en transporttijd via Internet en last but not least, rekentijd om de bestanden door berekenen te creëren.

Als je met 16 bit PCM werkt in een audio.wav bestand mag je dus maximaal tot  $2^{15} - 1 = 32767$  gaan als amplitude van de monsters, want dan kun je alle waarden coderen van 32767 tot -32768; en omdat te kunnen garanderen voor de som van alle  $f_b - f_a + 1$  spectrumcomponenten tussen de bandbreedte  $f_a$  tot  $f_b$  moet de amplitude van al die sinussen  $(2^{15} - 1) / (f_b - f_a + 1)$  zijn. De kans dat al die sinussen gelijktijdig hun maximum bereiken is zeer gering maar niet nul. Daarom wordt een gegenereerd bestand eerst met cijfers achter de komma opgeslagen, daarvan wordt dan de maximale amplitude bepaald en vervolgens wordt het bestand opnieuw gelezen en met de berekende versterking vermenigvuldigd zodat de gewenste piekwaarde wordt bereikt en daarna worden de samples, eventueel opgeteld met signaal, pas afgerond tot gehele getallen en in het .wav bestand opgeslagen als 16 bits gehele getallen.

Je kunt ook eenmalig het geluidsbestand genereren en achteraf de monsters vermenigvuldigen met de versterking, maar dat heb ik niet gedaan omdat ik dan de kwantiseringsruis onnodig vergroot. Immers monsters (samples) met grootte 1, 2 of 3 worden bij versterking met een factor tien dan 10, 20 of 30 en de tussenliggende waarden komen niet meer voor. Dat geeft een onnodige verhoging van de kwantiseringsruis, in dit voorbeeld met 20 dB.

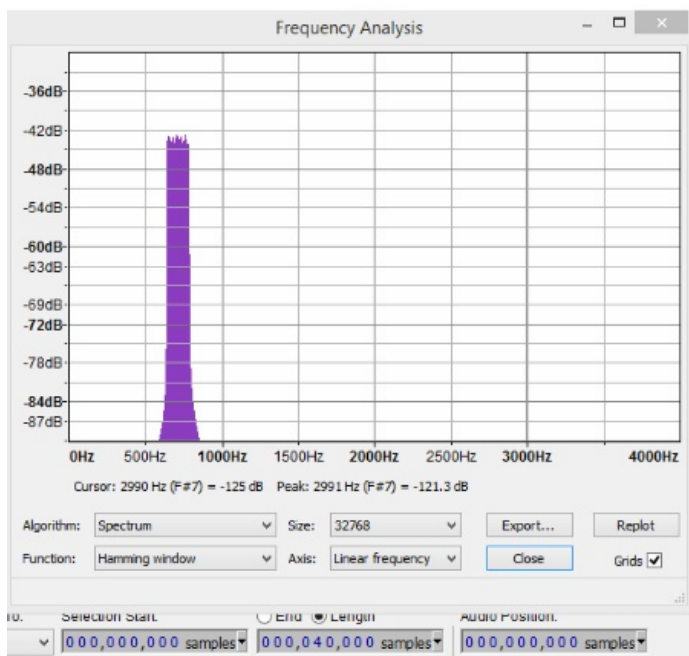
Dus de berekende monsters worden als drijvende komma getallen (type double) eerst versterkt en daarna pas gekwantiseerd tot de monstergrootte die een geheel 16 bits getal is. Op die wijze gegenereerde ruis heeft ook een verhouding  $P_g / P_{EP}$ . die we eigenlijk niet interessant vinden, omdat we voor de signaalruisverhouding naar het gemiddelde ruisvermogen  $P_{gr}$  kijken dat is de berekende ruisenergie van alle ruismonsters van het wav

bestand per seconde. Maar we willen oversturing bij monstergewijze optellen met een signaalbestand uitsluiten, vandaar die tweetraps berekening.

Een geluidsmonster van een bandbeperkte witte ruisband tussen 637 en 787 Hz, dus 150 Hz breed, die op deze manier geconstrueerd is kunt u horen op:

[http://pa0wv.home.xs4all.nl/wav/712\\_150.wav](http://pa0wv.home.xs4all.nl/wav/712_150.wav)

Dat bestand heeft dus een centraalfrequentie van 712 Hz. Het spectrum is op dezelfde wijze (32768 samples, Hamming window), bepaald met Audacity en te zien op onderstaande figuur.



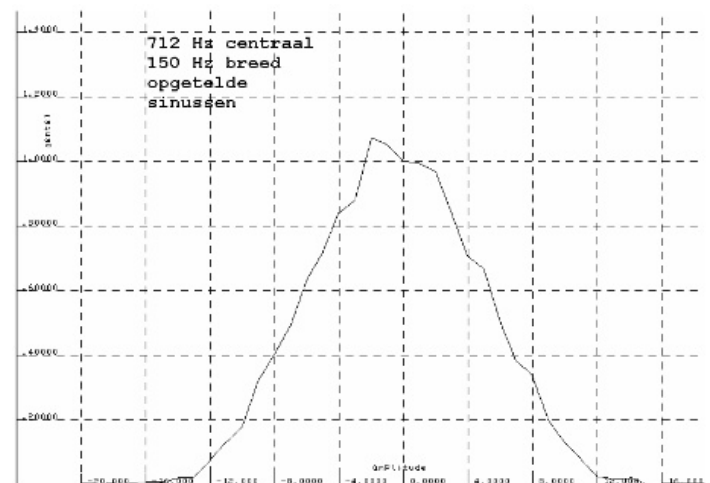
Bij het afspelen van het 150 Hz brede ruissignaal 712\_150.wav valt periodiciteit in het geluid op, van naar schatting 1 seconde periodeduur. Dat is wel logisch, want na 1 seconde zijn alle 151 sinuscomponenten weer op precies hetzelfde punt beland. Dat gebeurt dus omdat een spatie der sinuscomponenten van 1 Hz is aangehouden. Houd je 1/10 Hz spatie aan tussen de sinuscomponenten, dan duurt het 10 seconden, maar dat kost wel 10 maal zoveel rekentijd om op die manier een ruisbestand te maken van dezelfde tijdsduur. Dus voorlopig ga ik door met 1 Hz spatie en als alles werkt kan ik dat verlengen en gedurende een nacht of zo als ik op een oor lig, de PC het

ruis wav bestand voor de SSB bandbreedte laten berekenen. Het aantal sinuscomponenten per Hertz bandbreedte wordt daarom als parameter in het programma opgenomen.

De gewenste bandbreedte van de ruis is met deze werkwijze gegarandeerd. Het signaal klinkt ook als smalbandige ruis (712\_150.wav) en om de ruiserigheid van de ruis te controleren heb ik van elk monster van het wav bestand de amplitude in een van 45 amplitudevakjes gesorteerd en in grafiek gezet.

Vertikaal het aantal monsters in een van de 45 amplitudegebiedjes en horizontaal de grootte ervan als unsigned integer. Omdat bij een dubbele lengte van het bestand de grafiek in hoogte zou groeien en bij andere grafieken onderlinge vergelijking van de eigenschappen dan lastig wordt, is bij dergelijke grafieken elke y-aswaarde gedeeld door het aantal van de waarden rond amplitude 0. De grafiek heeft dan in principe als maximum 1, omdat de kleinste amplitudes het vaakst voorkomen, en is dan onafhankelijk van de lengte van het wav bestand. De deviatie van de gemeten monsters is dan goed vergelijkbaar.

Van de monsters van 712\_150.wav ontstaan door sinussen met gelijke amplitude en per stuk random gekozen startfase en 1 Hz gespatieerd op te tellen, vindt u de grafiek van de pdf (probability density function) hieronder.

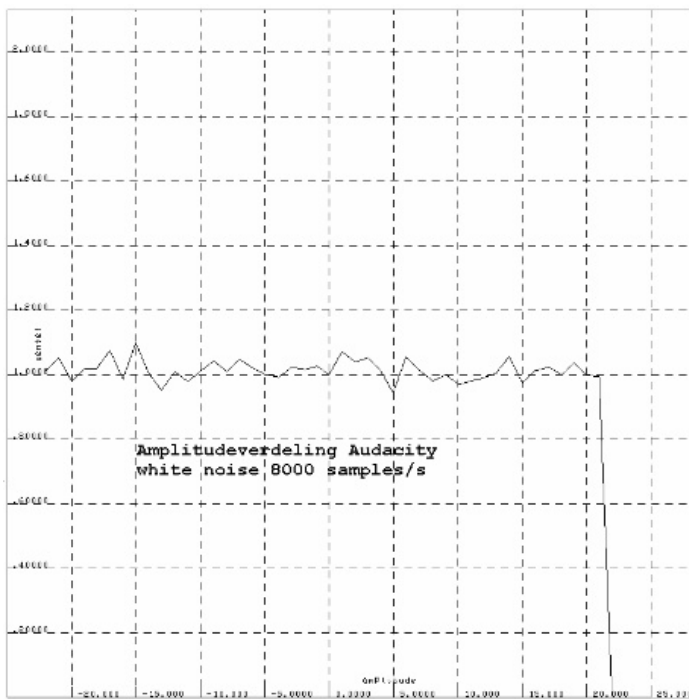


Probability Density Function



## Vreemde vooralsnog onbegrepen problemen doemen op

Geef ik het open source programma Audacity opdracht om witte ruis te genereren, (bestand audwhite.wav bij de wav bestanden op de website) en kijk ik dan naar de grootte van de monsters dan komt elke amplitude nagenoeg even vaak voor. Analyse van een dergelijk bestand levert de daaruit bepaalde pdf hieronder. Het spectrum is vlak tussen 0 Hz en de maximale frequentie  $f$  met  $f=fs/2$  waar-bij  $fs$  de samplefrequentie is. Omdat mijn lang geleden geschreven grafiekenprogramma automatische scaling heeft in e 1-2-5, heb ik een kunstmatig punt op 0 helemaal rechts toegevoegd, waardoor op de daardoor geforceerde y-asschaal blijkt dat het een vrijwel vlakke amplitudeverdeling is, elke monsteramplitude komt dus nagenoeg even vaak voor.



Maak ik zelf witte ruis door alle monsters een random getal toe te kennen, dan gebeurt dat uiteraard ook, het klinkt prima, luister maar op witrnd.wav en het heeft eveneens een vlakke pdfunctie.

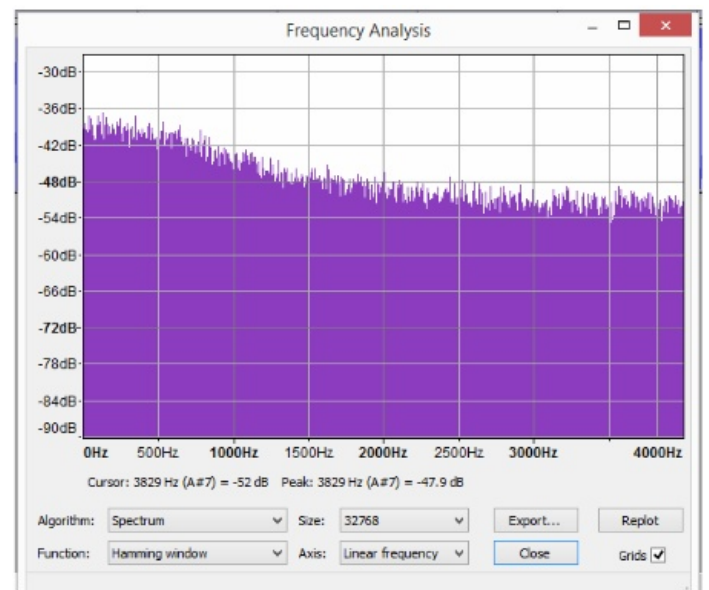
Echter die snel aan te maken ruis heeft een vaste bandbreedte die bepaald wordt door het

reconstructiefilter in de PC die van de monsters weer analoge audio maakt, dus bij de gebruikte 8000 monsters per seconde een spectrum dat ligt tussen 0 en 4000 Hz. Die kan ik dus niet gebruiken, omdat ik 300-2800 Hz en een 150 Hz brede ruisband rond 712 Hz nodig heb.

Het vreemde is dus dat witte ruis 0-4 kHz die een vlak spectrum heeft, alle amplitudes even vaak voorkomen en met de beschreven sinus-optelmethode is dat niet het geval.

Dat geeft dus te denken. Ik vermoed dat de witte ruis, omdat die de halve bemonsterfrequentie qua bandbreedte omvat, en dus per naburig monster de volledige seinspan kan verschillen, dat dan de Gauss amplitudeverdeling overgaat in een verdeling waarbij elke monsteramplitude even vaak voorkomt.

Nog een proefje in een poging het inzicht te vermeerderen: Ik interpoleer steeds lineair 3 monsters tussen twee met random getallen gekozen monsters. Dat zal dan wel uitdraaien op bandbepaalde ruis tot 1000 Hz bij 8000 samples per seconde. (bestand Nis4.wav) denk ik dan intuïtief. Is niet zo. Het klinkt on(fris\_en\_fruutig). Toch vreemd, want je gaat nu nooit in een klap van max naar minimum in 2 aan elkaar grenzende monsters, dat duurt nu minimaal 4 monsters. Het resulterende spectrum (hieronder) is niet meer vlak en loopt toch door tot 4 kHz waar het pas 20 dB down is; en de pdf



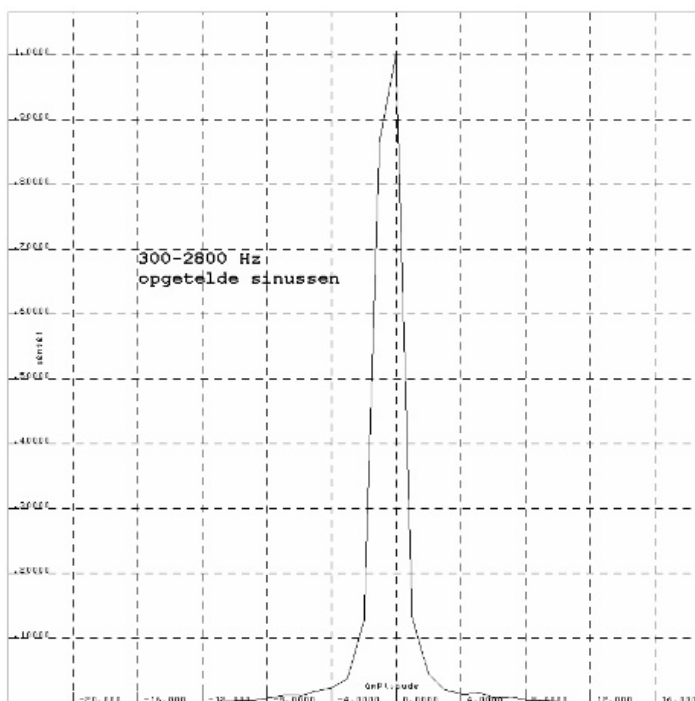
hoeven we niet eens te bepalen want die zal zonder enige mogelijke twijfel dezelfde vlakke verdeling hebben.

Toch getest, want je weet maar nooit; en dat blijkt inderdaad het geval.

Maar ja, bij nader inzien, als je lineair interpoleert, maak je zaagtanden en die hebben harmonischen, dat kan het 20 dB down doorlopen tot 4 kHz verklaren. Maar er is toch wel licht aan het einde van de tunnel. Als je een dobbelsteen gooit heb je evenveel kans om elk getal van 1 t/m 6 te gooien. Gooi je met twee stenen dan is het maximum van de som wat je kunt gooien 12 en een minimum 2, en dat zal beide gemiddeld een op de 36 worpen gebeuren. De kans echter dat je 6 gooit met twee dobbelstenen is vijf keer groter omdat dat gebeurt bij de gevallen (1,5) (2,4) (3,3) (4,2) en (5,1). Dat effect staat bekend als het central limit theorem.

## Spectrum

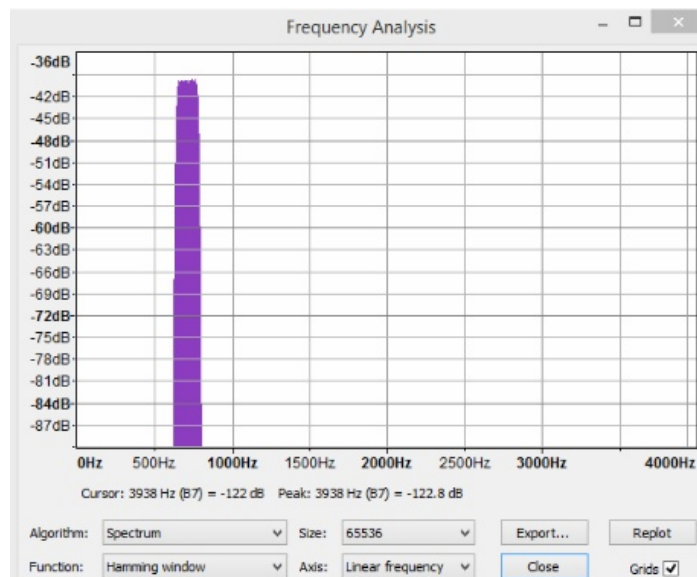
Het spectrum is te testen als ik als bandgrenzen van 0 tot de halve bemonsterfrequentie bandbegrensde witte ruis genereer met de sinus-optelmethode en dan naar de amplitudeverdeling kijk. Om de test in een redelijke tijd te kunnen doen beperk ik de



bemonsterfrequentie weer tot 8000 en de frequentie van de sinussen dus tot 4000 Hz, ik neem 3900 Hz om de goden niet te verzoeken. Eerst 1 en later met 5 componenten per Hz.

Niet alleen heeft dat signaal een naar en raar spetterig geluid, en is de Pg/PEP aanzienlijk geringer, het klinkt ook verre van gezonde ruis. Het genererende programma heb ik op allerlei manieren die ik kon verzinnen getest (bijvoorbeeld 1 Hz brede ruisband en slechts 2 sinuscomponenten dus) maar ik kan geen fout ontdekken. Het spectrum blijkt er ook perfect uit te zien, het is vlak zoals te verwachten en begrensd binnen de geprogrammeerde bandgrenzen.

Ik heb ook ruis uit de luidspreker van mijn



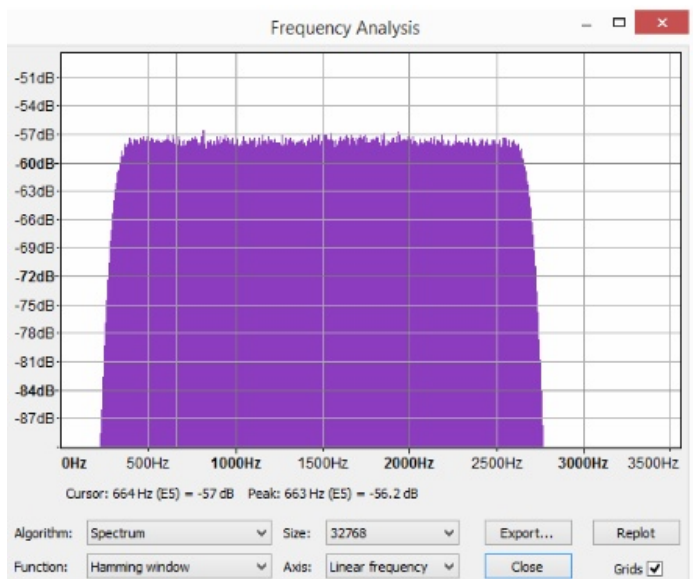
ontvanger opgenomen en die voldoet ook aan een normaalverdeling, een klokvorm dus, van de monsteramplitudes. Wellicht is daarom nu een betere methode gewenst om ruis te genereren met de gewenste bandgrenzen.

## Bandbegrensde ruis genereren

Twee methoden:

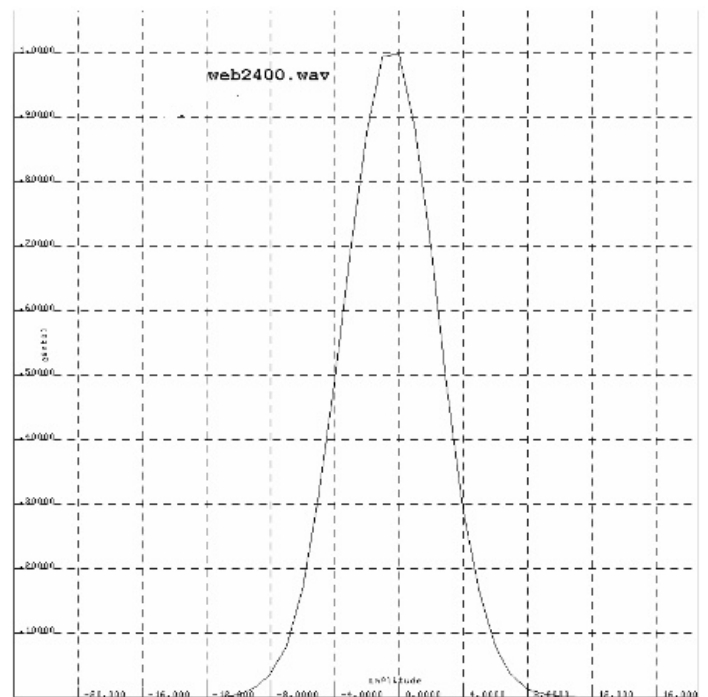
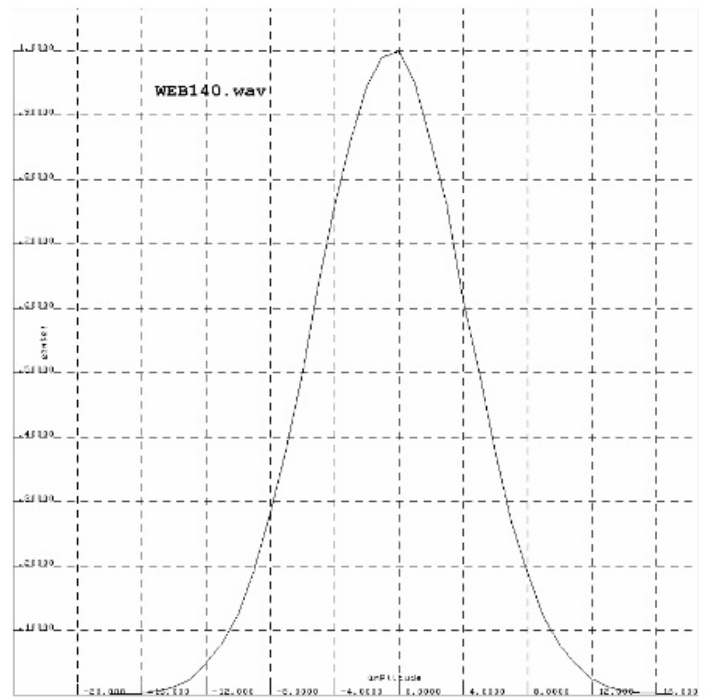
1. Ruis met de gewenste bandbreedte uit een ontvanger opnemen
2. Met een in C geprogrammeerd digitaal bandfilter de gewenste ruisband uitfilteren uit een

witte ruisband 0-4 kHz, gemaakt met random getallen, en die ruisbestanden ter gebruik opslaan om CW en SSB op te superponeren of beter nog ook de SSB en de CW door dat filter te sturen, zodat eventuele componenten die buiten de band vallen worden weggesneden. Dat is bij SSB testen van belang als het audio-signaal gecomprimeerd wordt om de verhouding PEP/Pg te verbeteren en dus het gemiddelde zendvermogen ten opzichte van de PEP te verhogen. Bovendien is het spectrum van een met de PC opgenomen geluidsbestand ook breder dan de gewenste band van 300-2800 Hz.



Op de websdr van TU Twente: (<http://websdr.ewi.utwente.nl:8901>) kun je signalen afstemmen met verschillende bandbreedtekeuzes. Ik stem af op ruis in een dode band rond de 25 MHz. Je kunt het signaal laten opnemen in Twente in een wav bestand en dat vervolgens downloaden. Dat downloaden gaat zo supersnel, dat de conclusie gerechtvaardigd is, dat dit bestand op je eigen computer wordt voorbereid tijdens het luisteren en opnemen. Aldus heb ik enkele ruissignalen van diverse bandbreedte gecreëerd. Deze signalen blijken opgenomen met een bemonsterfrequentie van 7119 samples/s. De header van de wav file voldeed niet geheel aan de standaard, maar dat maakt verder hier niet uit, en is nadat ik PA3FWN er opmerkzaam op maakte inmiddels verholpen.

De genormeerde probability density functies van



de opgenomen ruis is voor de gevallen SSB en CW bandbreedte in grafieken gezet: spectrum en amplitudeverdeling (pdf).

De SSB bandbreedte blijkt hier ook een smallere amplitudeverdeling te vertonen voor de SSB bandbreedte. Ook hier zijn de amplitudeverdelingen dus klokvormig.

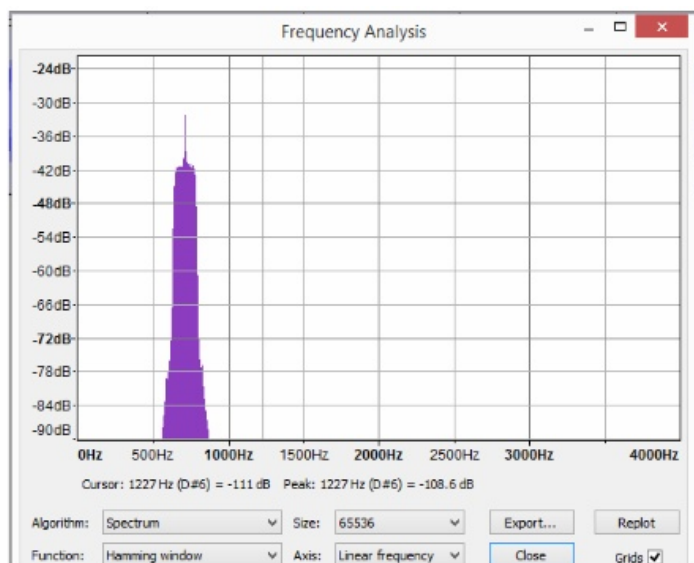
De CW ruis is toevallig opgenomen op een centraalfrequentie van 712 Hz, dat is de reden dat dit bedrag als CW beatnote is gebruikt.

## Spraak

Een nieuw wav bestand is aangemaakt met hetzelfde aantal samples per seconde als de twee ruisbestanden dus 7119 samples/s. Een dergelijk bestand (navo.wav) blijkt 23 seconden te duren. Zend ik a t/m z achter elkaar in Morse 20 wpm dan duurt dat (cw.wav) minder dan 19s.

CW wint het dus van het tempo dat je met spraak haalt als je noodzakelijkerwijs moet spellen bij lage signaalruisverhouding, waar dit artikel over gaat. Het bestand out.wav bevat het bestand zonder spaties tussen de spelwoorden. za.wav lepelt ze van achter naar voren op, bij wijze van test om te verifiëren dat ik inderdaad de juiste startposities en lengte van de spelwoorden uit het bestand navo.wav correct heb overgenomen en ingetypt.

De bedoeling is nu dat de ruis per monster wordt opgeteld met de spraakmonsters, zodanig dat er geen oversturing plaats vindt. Om testsignalen te kunnen maken zocht ik met Audacity in het navobestand de 26 samplenummers waar de spellingwoorden beginnen en de tijdsduur in monsters van die spellingwoorden. Vervolgens schreef ik een programma dat een tekstbestand



van een random gekozen 10-lettergroep omzet in een wav bestand met de bijbehorende spellingwoorden, opgeborgen als bestanden met doubles, (drijvende komma getallen per stuk in 8

bytes gecodeerd) om de versterking ervan aan de beschikbare integer ruisbestanden van TU-twente of zelf gemaakte ruisbestanden (in double-format) te kunnen aanpassen. Dat is geen heksentoer en bespaart een bende werk bij het genereren van verschillende tekstbestanden met diverse signaalruisverhoudingen, die nodig zijn om vast te stellen wat ervaren ham-operators nog net correct kunnen registreren. Per gekozen spellingwoord wordt in het bestand de maximale amplitude bepaald en dan aangepast door versterken aan de gespecificeerde max amplitude van het hele bestand. Elk woord heeft dus dezelfde PEP in het bestand met 7 spelwoorden.

De ruisbestanden zijn bij gebruik van TU-twente websdr afkomstig van een wav bestand en kunnen dus zonder introductie van extra kwantiseringsruis niet versterkt of verzwakt worden, vandaar dat ik nu het audiodeel dat opgeslagen is als doubles, omdat het bij spraak met Audacity is opgenomen, denk te gaan wijzigen in volume en vervolgens toevoegen aan de ruisbestanden. Een en ander is niet uitgevoerd, omdat de tweede methode beter is, en omdat het spectrum van de opgenomen spraak doorloopt beneden 300 en boven 2800 Hz

## De tweede methode van bandbepaalde ruis maken

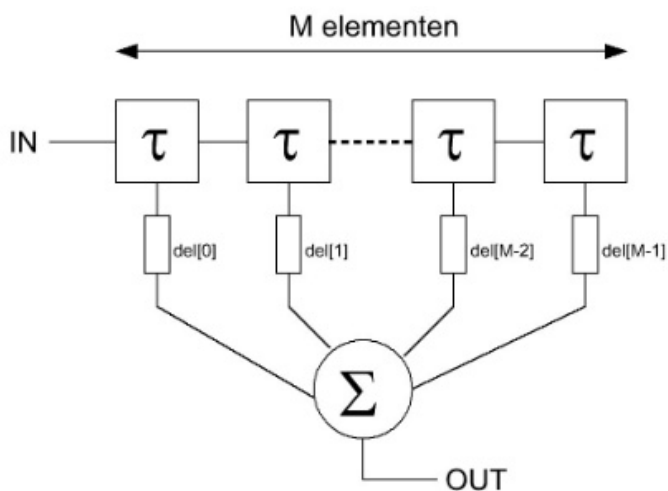
De tweede methode die ik noemde is zelf ruisbanden maken van witte ruis met digitale filters. Die methode sla ik niet over want de zelfontplooiing van de amateur stelt dat het opnieuw uitvinden van het wiel tot de nuttige klasse bezigheden behoort, waarvoor een zendbevoegdheid is verstrekt. En zo ervaar ik dat ook.

Ik sprak eens een amateur, een Tukker, maar dat zal wel toeval zijn, die kocht alles wat hij nuttig achtte voor zijn hobby tenzij het niet te koop is, slechts dan kwam homebrew in aanmerking; want waarom zou hij het wiel opnieuw uitvinden was zijn retorische vraag. Maar, zoals te verwachten, kon hij dan niet

maken want niet te koop is. Echter de oplossing daarvoor was dan dat hij dan gewoon niets wilde hebben dat niet te koop is. Ja, die Tukkers zijn me er eentje.

Goed, digitale filters. Een soort bestaat met het acroniem FIR aangeduid, bestaat uit een schuifregister dat analoge waarden kan bevatten, soort emmertjesgeheugen dus, waar de monsters doorgeschoven worden met als klok de samplefrequentie.

De output van elke cel van het register wordt met een factor, een weegcoëfficiënt, die per cel kan verschillen vermenigvuldigd en de uitkomsten van al die vermenigvuldigingen worden opgeteld en vormen de outputpuls van het filter. Een dergelijke bewerking heet convolutie. Het is namelijk de convolutie van het inputsignaal met de set monsterwaarden van de weegcoëfficiënten in het filter.

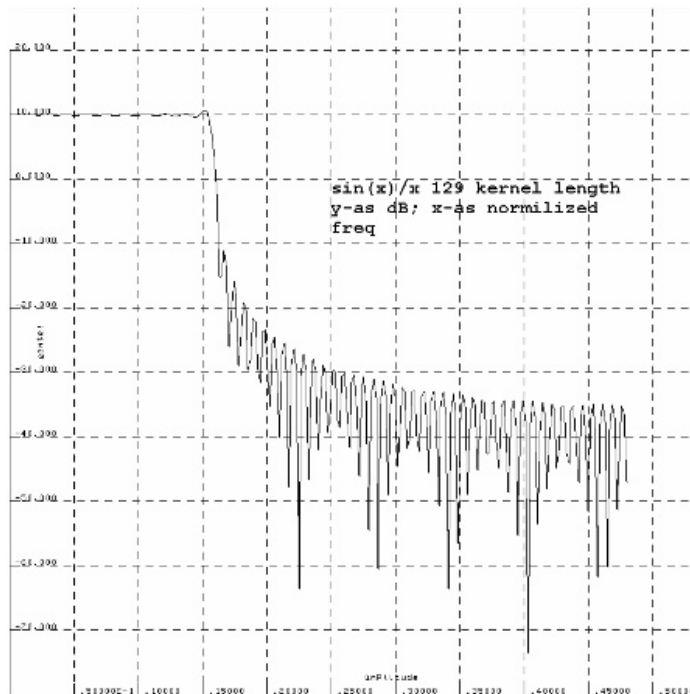


Als je een brickwall lowpass filter wilt; volledig vlakke doorlaat, buiten de doorlaat oneindige demping, dan kan dat met weegfactoren van de vorm  $\sin(x)/x$  in zo'n filter.

De sinus heeft een constante amplitude, maar de noemer zorgt ervoor dat die steeds kleiner wordt bij toenemende  $|x|$ .

Nu kun je geen oneindig lang filter maken dus probeer ik 129 lang. En ja dat werkt, dat wil zeggen: ik schrijf een computerprogramma dat de beschreven werking realiseert, en dat mag best traag zijn, het gaat om het resultaat. Je

kunt dan de werking testen door een wav geluidsbestand te nemen het filter erop los te laten en de output van het filter weer in een wav geluidsbestand op te bergen. Maakt niet uit hoe lang het rekenproces duurt, als het klaar is kun je de output afspelen en beluisteren.



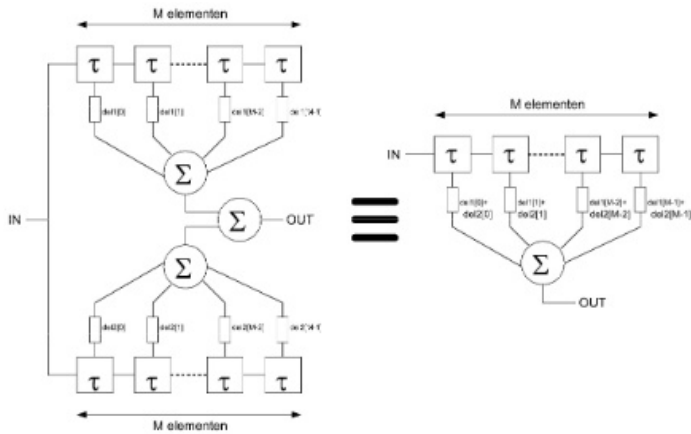
## Bandfilters

Nu hebben we een low pass filter, en de vraag is dan hoe je er een highpass van maakt, een bandstop of een banddoorlatend filter.

Eerst de high pass. Die kan op twee manieren:

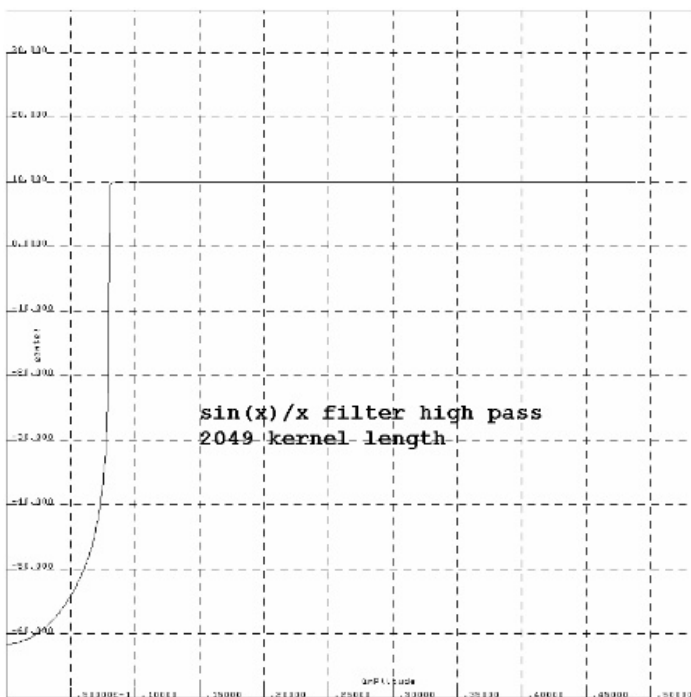
a) Door een low pass parallel te zetten aan een all pass filter en van de all pass output de low pass output af te trekken. Dan houd je de gewenste high pass over. De versterking en fase van die twee filters moet dan in de doorlaat gelijk zijn, om bij het resultaat van de parallelschakeling daar op 0 uit te komen.

Je hoeft geen twee filters te maken, je kunt omdat het allemaal vermenigvuldigen en optellen is de waarde van de weegfactoren per stel gewoon optellen. De tekening op de volgende bladzijde verduidelijkt dat.

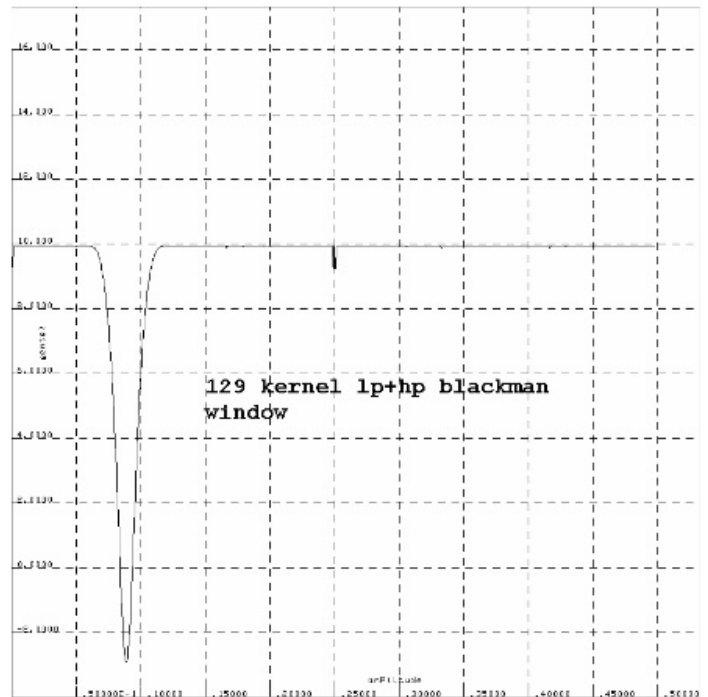


Een all pass heeft slechts **een** van 0 verschillende weegfactor, dus door alleen de middelste weegfactor van de low pass aan te passen verkrijgen we een high pass.

b) Tweede methode is: om de andere waarde van de weegfactoren van de low pass van teken om te keren. In feite vermenigvuldigt je dan de output met een sinus  $f_s=0,5$  (de halve bemonsterfrequentie) en dus met slechts 2 monsters per periode van die sinus, beurtelings plus en min 1 dus. Het gevolg is dat je de lowpass moduleert op de halve bemonsterfrequentie en dan vind je het spiegelbeeld terug (onderzijband) als hoogdoorlatend filter. Dat kan hier dus ook weer met hetzelfde filter gebeuren, je hoeft alleen maar om het andere (oneven) weegcoëfficiënt van teken om te keren.



Een bandsperfilter kun je maken door een hoog en laagdoorlatend filter parallel te zetten, en ook dat kan weer gecombineerd door met slechts een schuifregister te werken en de weegfactoren van de twee filters, hoog- en laagdoorlatend, op te tellen.

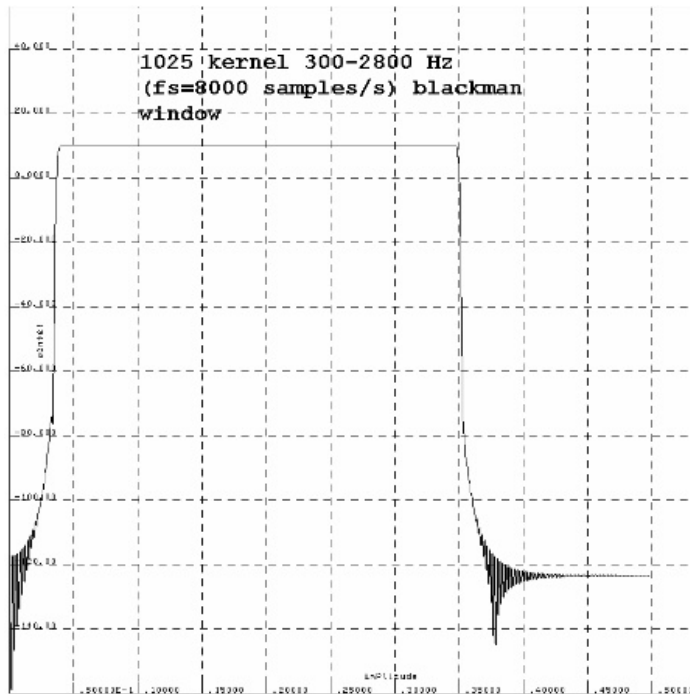


Dan komen we aan de hier van belang zijnde banddoorlatende filters. Ik dacht eerst foutief. Namelijk: maak een laagdoorlatend met als grensfrequentie de bovengrens van het bandfilter en zet dat in serie met een hoogdoorlatend filter met als grensfrequentie de lage grens van het bandfilter. Weer coëfficiënten optellen. Dat werkte van geen kant. Logisch want tot nu toe telden we coëfficiënten op van filters die parallel stonden, hier staan ze echter in serie. Je kunt hier dus niet de twee sets filtercoëfficiënten optellen.

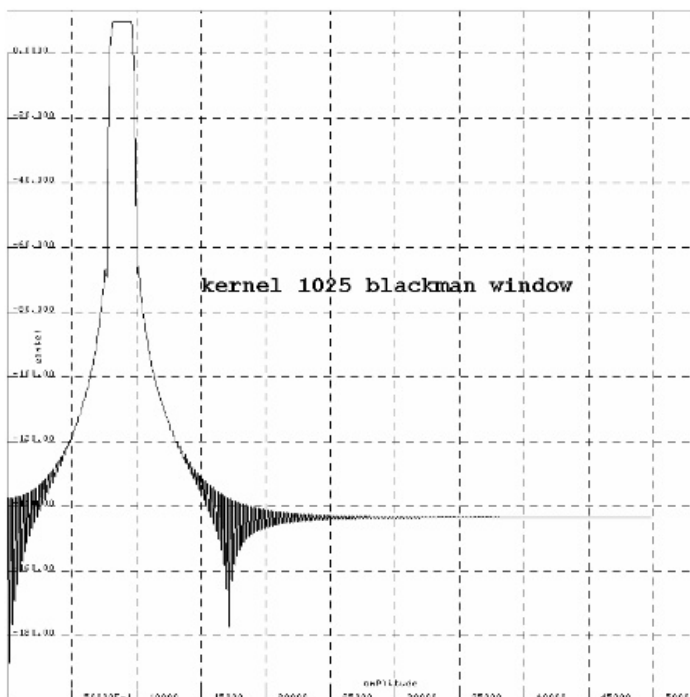
Dat kun je dan oplossen, als je die twee filters in serie wilt omzetten in een filter, door de twee coëfficiëntensets te convolueren. Bezwaar: de set wordt dubbel zo lang. Grap is wel dat je het ene filter kunt voeden met de coëfficiënten van het andere filter als input, de filteroutput is dan die gewenste sdubbel zo lange et coëfficiënten.

Maar het kan ook anders zonder op dubbele filterlengte uit te komen.

Bijvoorbeeld door het bandsperfilter, dat je wel met twee parallele laag- en hoogdoorlaatfilters kunt maken, parallel te zetten met een all pass filter. Een all pass heeft alle coëfficiënten 0 behalve de middelste. De middelste moet, om bij aftrekken op resultaat 0 uit te komen, gelijk zijn aan de som van de coëfficiënten van het andere filter. Door alleen de middelste coëfficiënt te wijzigen verander je aldus een bandstop in een banddoorlatend filter. Mooi toch?



Dat is op deze laatste wijze geconstrueerd voor een filter van 1025 lang met een nader te bespreken Blackman window voor de SSB en



CW modellen. De resultaten staan in grafieken hierbij.

## Dempingskarakteristieken

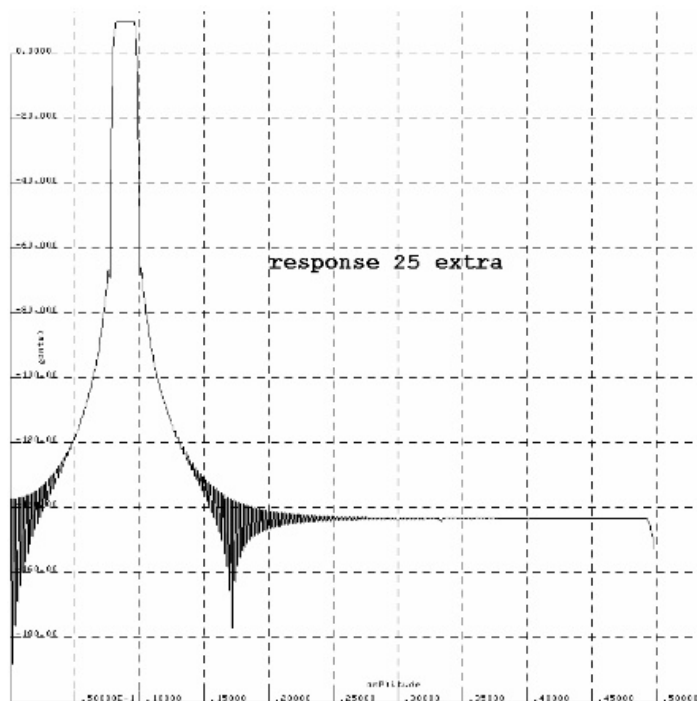
Ik wil ook de dempingskarakteristiek van die digitale filters precies kunnen bepalen. Dat gebeurt dan ook met de computer. Op een groot aantal frequenties genereer ik een sinus in getallen, die getallen (monsters) gaan in het filter, en als er meer monsters van een frequentie inzitten dan de lengte (aantal cellen) van het filter, dan is het verleden, de transient response genaamd, volledig uitgedoofd, en dan wil ik de outputamplitude weten. Een willekeurig monster is dan niet de amplitude, maar doorgaans geringer. Daar kan ik achterkomen door vanaf dat moment door te gaan met die sinusfrequentie als filterinput, tot de sinus minimaal pi verder is in zijn argument; dacht ik. Het maximum is dan zeker opgetreden was het idee. Dat maximum is de amplitude, die wordt omgezet in dB en een punt voor de grafiek van de dempingskarakteristiek voor de inputfrequentie is dan bepaald. Dat doe ik dan voor bijvoorbeeld 500 punten en zo krijg ik dan dus 500 dempingen voor die frequenties, die plot ik en zo vormt zich het plaatje van de diverse filterprobeerzels. Het is onnodig om alle vermenigvuldigingen en optellingen te doen in het filter voor de eerste M monsters als het filter M schuifelementen bevat. We kunnen het filter direct vullen zonder die vermenigvuldigingen optelberekeningen, dat scheelt tijd en de transient response wordt dan op een snelle wijze overgeslagen.

De grafieken hebben als horizontale frequentie-as 0 tot 0,5 fs, dat geeft de frequentie aan, uitgedrukt in de bemonsterfrequentie fs. Dus bij 8000 monsters per seconde is 0,5 dan 4000 Hz.

Vertikaal is steeds de 20 log voor basis 10 van de gevonden uitgangsamplitude genomen, dat is dus een dB-schaal. Nadat het filter in M elementen geladen is met sinusmonsters en er dus geen transient response meer kan optreden, moeten we minimaal over een argument  $\pi$  van

$\sin(2.\pi.f.i)$  monsters invoeren om zeker te zijn dat we een extremum passeren, dus over  $i$  monsters met  $i \geq 1/(2f)$ .

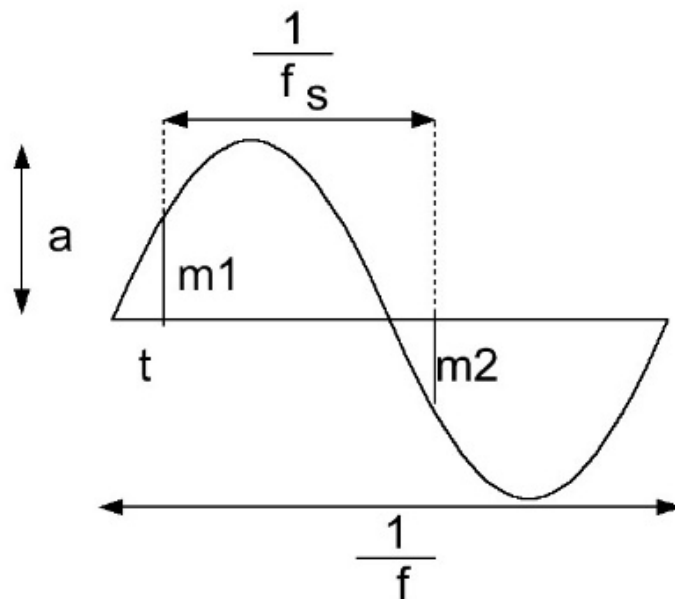
Voor  $f=0$  (gelijkspanning) hebben we dan oneindig veel monsters nodig omdat er geen maximum is, maar alle outputmonsters gelijk zijn. Verdelen we de grafiek van 0 tot  $0,5f_s$  in 500 meetpunten, dan vereist de laagste frequentie  $= 1/1000 f_s$  dan dus maximaal 500 inputsamples. Dat daalt snel bij toenemen van de frequentie om bij de andere limiet  $f=0,5 f_s$  te eindigen in een input monster. Dat vereiste aantal neemt snel af met het toenemen van  $f$ . Links op 10% van de breedte van de grafiek is  $f=0,05$  en volstaan dus 10 monsters al. Ik heb op alle punten 25 monsters extra genomen,



omdat bovenstaande redenering niet geheel, of beter geheel niet, waterdicht is. Immers als er weinig monsters per sinus zijn, dan is de kans niet groot dat die precies op het maximum van de sinus vallen. Dat is dus de reden dat van de geproduceerde grafieken in de buurt van  $f_s$  de demping schijnbaar toeneemt, de kans is daar groot dat je geen monster vindt met de topwaarde van de sinus.

Dat leidt er dan toe, om toch te kijken, als een vorm van perfectionisme, of het mogelijk is uit slechts twee naburige monsters de amplitude

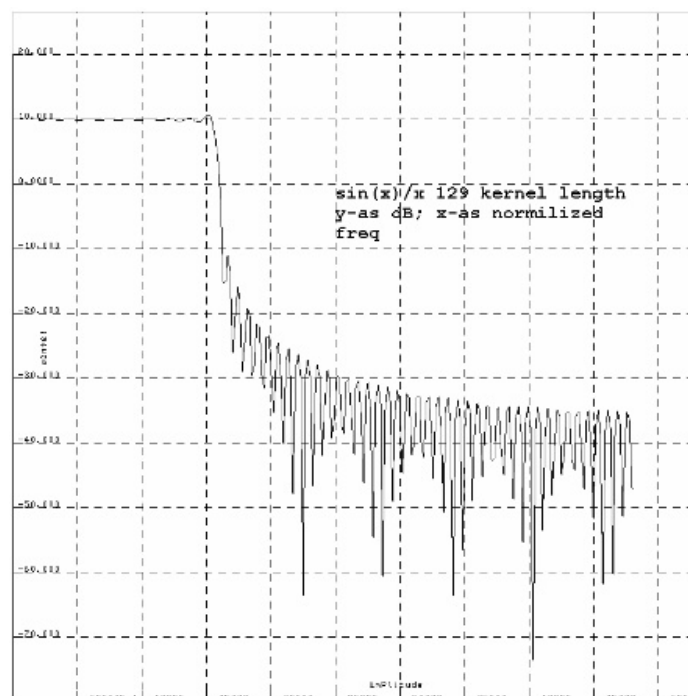
van de erdoor bepaalde sinus te berekenen. Onderstaande tekening licht dat toe. Je weet de



$$m1 = a \sin(2.\pi.f.t)$$

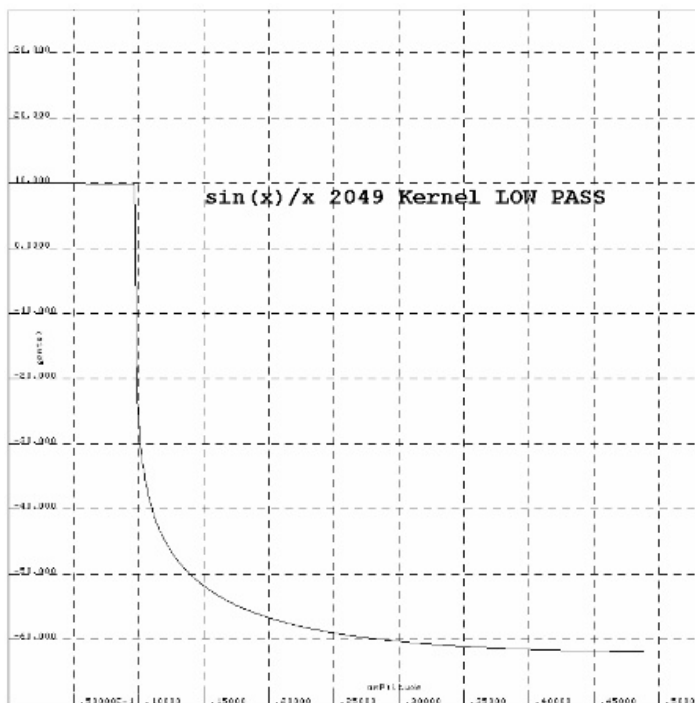
$$m2 = a \sin[2.\pi.f.(t+1/fs)]$$

periodetijd van de sturende sinus en je weet dat de twee naburige monsters  $1/fs$  in tijd verschillen. Dat levert dan twee transcendent vergelijkingen die met iteratief proberen zijn op te lossen. Ik begon met een low pass als beschreven op blz 14 van 129 cellen. In het sfergebied zitten nogal wat terugkomers, en de sperdemping valt tegen.

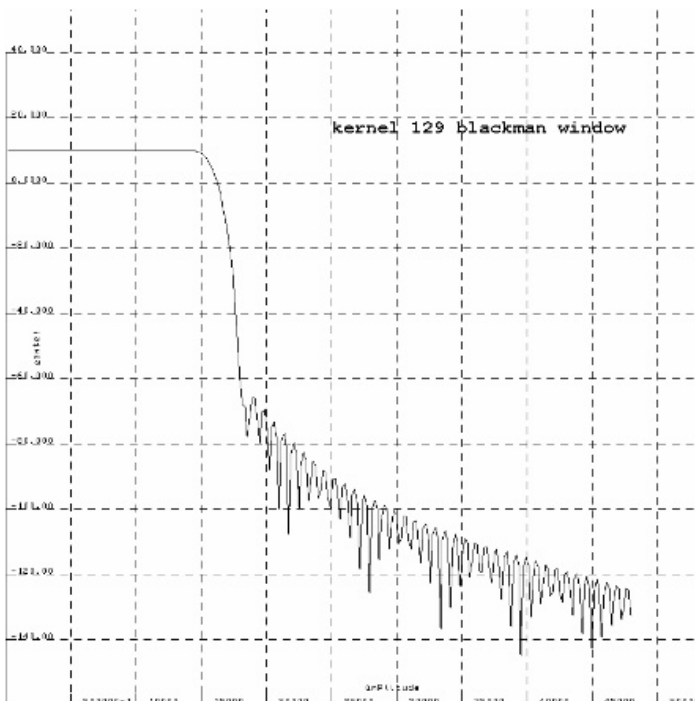




Ik kan ook 2049 lang filter nemen, dan kan ik een kop koffie drinken voor ik de grafiek heb. Die is wel beter zoals hier te zien is.

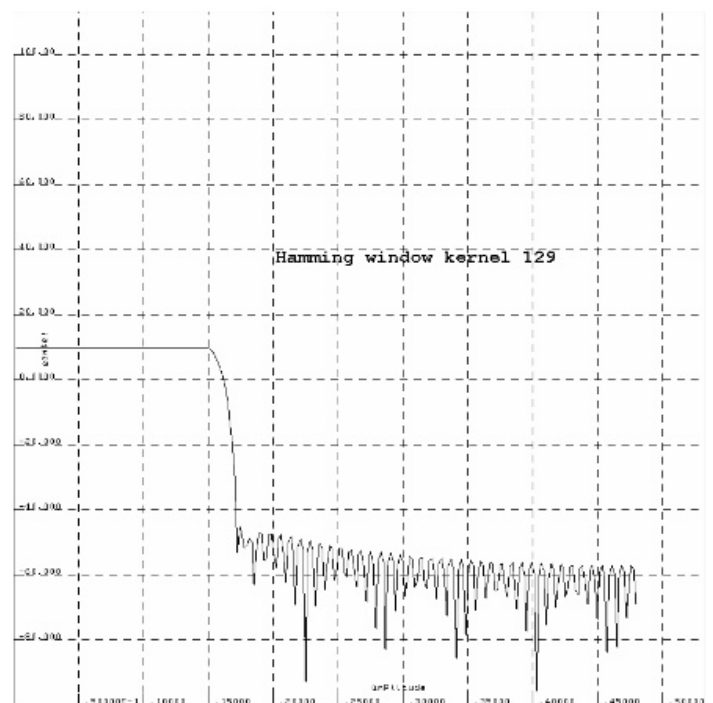


Maar dat houdt nog niet over. In de literatuur vond ik dat je over de  $\sin(x)/x$  dan een windowfunctie kunt toepassen die het abrupte afkappen van plus en min oneindig tot bijvoorbeeld +64 en - 64 verzacht. Soort op een gekwadrateerde cosinus lijkende functie. Er zijn diverse soorten en ik heb het Blackman window genomen, als blijk van afkeer van discriminatie van zwartmensen maar niet heus. Het Hamming

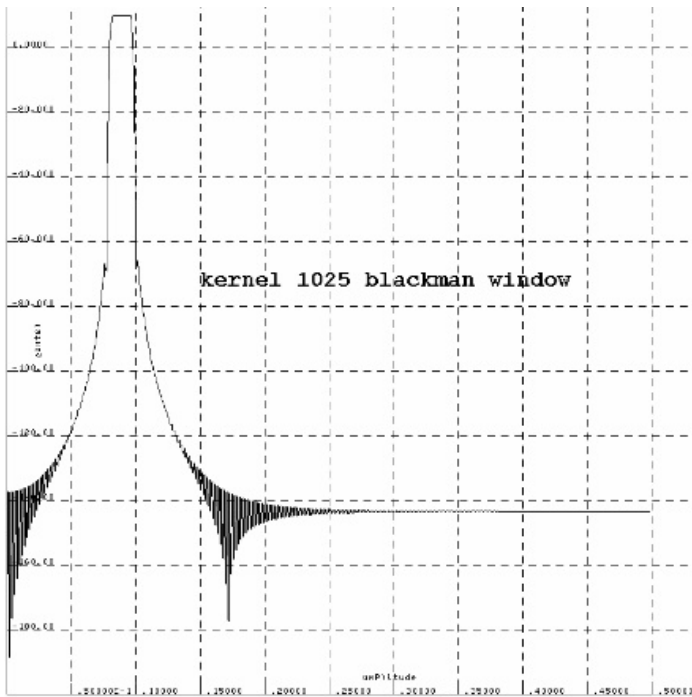
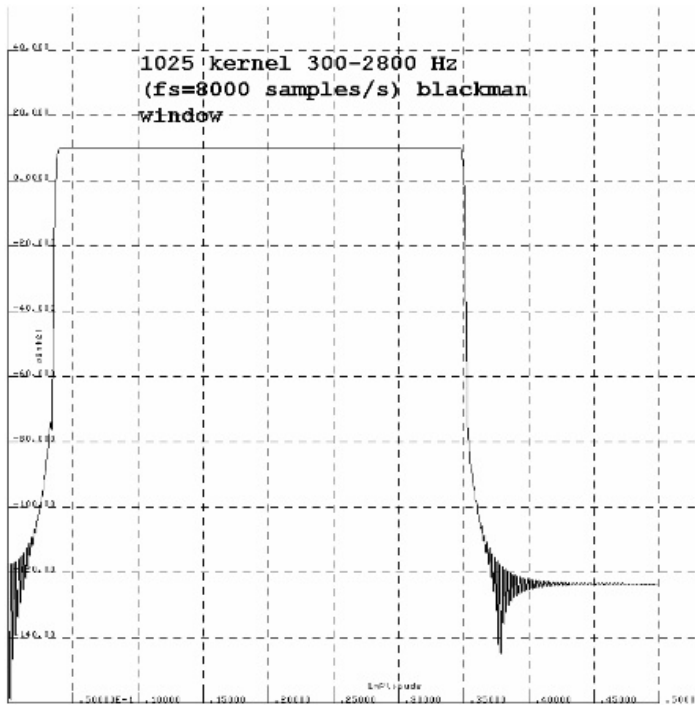


window is ook bekend en die is iets steiler op de flank, maar heeft hogere terugkomers.

De platen hieronder en aan het eind van de vorige bladzijde tonen het 129 elementen filter als hiervoor, echter nu met een Blackman en met een Hamming window.



Nu wil ik banddoorlatende filters die bij 8 kHz bemonstering 300-2800 Hz doorlaatband hebben en 150 Hz rond de 712 Hz, dat is de toevallige centraalfrequentie van de ruis die ik van TU-twente als wav-bestand downloadde, met 150 Hz bandbreedte. Ik wil die filters flink steil hebben, en dan stuur ik daar witte ruis door en de verkregen bandbegrensde ruis ga ik dan gebruiken voor de meetbestanden, waar er dan SSB of CW signaal bij is opgeteld. Ik ben dan ook niet verplicht de ruisbestanden als 16 bits integers te bewaren, ik kan ze als drijvende komma getallen (double) opslaan. De filters zijn op de beschreven wijze samengesteld met  $M=1025$  en een Blackman window. De op de beschreven wijze bepaalde frequentie karakteristiek zie je op de twee grafieken op de volgende bladzijde.



Nu moet je uiterst voorzichtig zijn, en dat is vaak nog onvoldoende, anders konden we geen gebraden kwartel op de menukaart in een decadent restaurant vinden.

Gebaseerd op dat principe ga ik het SSB bandfilter van 300 tot 2800 Hz dat tot 4 kHz input mag hebben vanwege de samplefrequentie van 8000/s, testen met een langzaam in frequentie oplopende sinus (0,01 Hz per 1/8000 s), dus 80 Hz/s tussen 100 en 3000 Hz, Wat schetst mijn verbazing als ik bij oplopende

frequenties boven de doorlaatband (>2800Hz) ineens de frequentie weer hoorbaar krijg in DALENDE frequentie terwijl de inputfrequentie van het filter oploopt; (te beluisteren op de eerder genoemde link met bestand digfil10.wav). Dat moet vouwoverspraak zijn van een onderzijband van een harmonische van de monsters; zal wel aan de bejaarde PC geluidskaart liggen, een oudje denk ik dan, maar nee, op een modernere PC idem. En de wav file toont het ook in Audacity; dus het is bij het genereren van de wav file al ontstaan.

Dat vereist dus nader onderzoek, oplossing blijkt dat ik  $\sin(2.\pi.f.t)$  nam om het signaal te genereren, dat gaat uit van een vaste frequentie en een variabele oplopende tijd. Hier zijn echter zowel de frequentie als de tijd variabel zodat het argument van de sinus de integraal tussen grenzen 0 en t van  $f(t).dt$  moet zijn. Dat opgeknapt en nu klopt het wel.

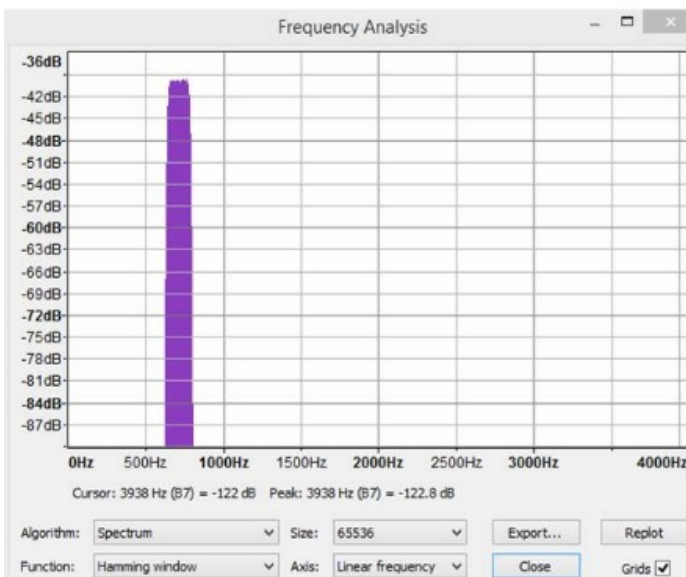
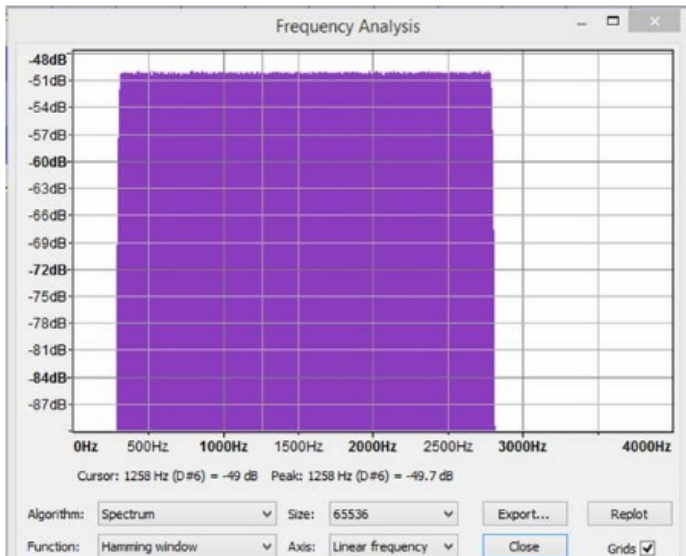
### Invloed van het CW filter

De morse van 20 wpm, die is opgeborgen en beluisterbaar in bestand abcdef.wav, is door het CW filter heengestuurd, en opgenomen in abcdef2.wav; het eerste signaal in dat geluidsbestand is het ongefilterde originele signaal 20 wpm 712 Hz toonhoogte, en de wellicht schijnbare herhaling is het oorspronkelijke signaal door het smalle CWfilter heengehaald. Ik hoor net een ietsepietsie verschil bij de opflanken, dus het filter (150 Hz bandbreedte) is zoals te verwachten, niet te smal voor 12 wpm proefbestanden. Later is gewoon de totale energie van de 12 wpm input morse vergeleken met die van de output van het filter, je komt dan uit op 0,00 dB dus dat klopt. Het is ook nog getest met 40 wpm, dan blijkt er 0,04 dB demping op te treden.

### Witte ruis in de filters.

Witte ruis gemaakt met random getallen is gemaakt en met zowel het CW filter van 150 Hz bandbreedte als met het SSB filter met

bandbreedtegrenzen 300 en 2800 Hz bewerkt tot twee ruisbestanden in double format. Uitsluitend voor controle zijn die omgewerkt tot wav bestanden om met Audacity het ruis-spectrum te kunnen bekijken. Dat ziet er perfect uit zoals hieronder moge blijken.



## Wijziging van het plan van aanpak

Als ik een sinus van 712 Hz in haakse dits verdeel, krijg ik sleutelklik, tel ik dat signaal op bij de pluk ruis van 150 Hz breed, dan blijven die clicks erin zitten omdat het spectrum van de CW wordt opgeteld en het breder is dan de ruisband. Dat is onnodig en een risico op meetfouten. Daarom is de wijziging nu dat alle signalen met de te testen S/N verhouding bij de SSB ruis worden opgeteld nadat ze zelf het SSB filter

eerst gepasseerd zijn en de CW bij gebruik van het smalbandfilter door dat filter wordt gehaald. De demping voor Morse was 0 en die van de ruis kan zonder signaal worden gemeten door ingangsisruisenergie en uitgangsisruisenergie te bepalen van het CW-filter.

## Toonhoogte

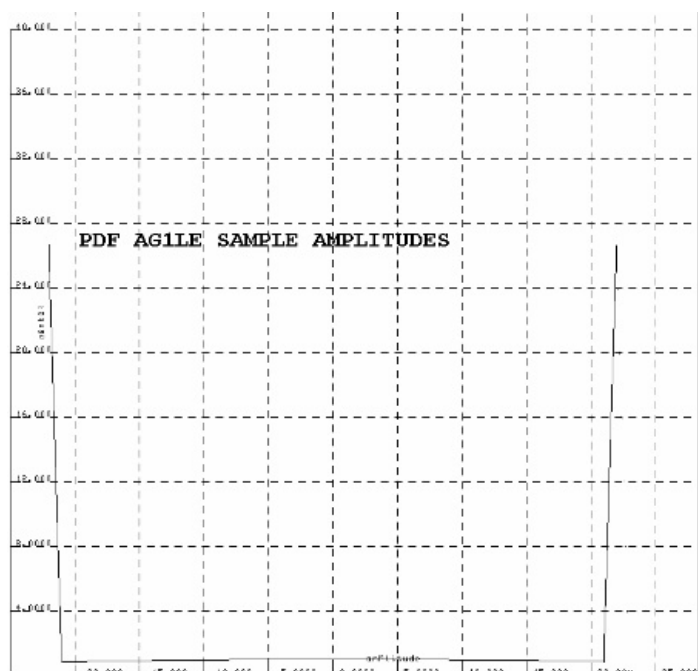
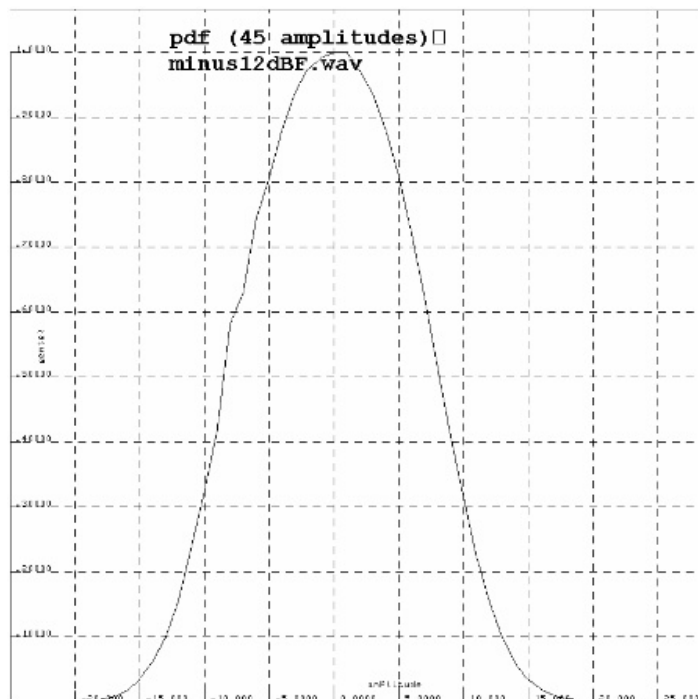
Aanvankelijk werd uitgegaan van 712 Hz omdat dat het midden was van de ruisband die van de websdr van TUtwente werd opgenomen. Nu ik echter zelf de filters construeer staat het mij vrij andere toonhoogten te nemen.

Ik heb een bestand gemaakt met een S/N van min 12 dB op 2,5 kHz brede ruisband, met een toonhoogte die start bij 350 Hz, 12 wpm en bij elke woordspatie gaat de toon automatisch 50 Hz hoger. Dat bestand is beschikbaar gezet op eham.net, waar ervaren telegrafisten zoals VK5EEE, GW3OQK en NI0C rapporteren dat de lagere frequenties betrouwbaarder zijn op te nemen. Dat kan aan hun leeftijdsgebonden achteruitgelopen gehoor liggen. Het bestand is bij dit artikel te beluisteren bij de wav bestanden onder de filenaam minus12f.wav, om te snel oplopen van de frequentie te vermijden zijn een aantal woorden gebundeld met het teken =. Het is zoals de naam als mnemonic reeds aangeeft 12 dB S/N verhouding. Wegens niet lineariteit van het gehoor, is het nuttig met het volume van het geluid te trachten optimale neembaarheid te verkrijgen. Minus10db.wav is een ander gebruikt bestand voor de eerste test.

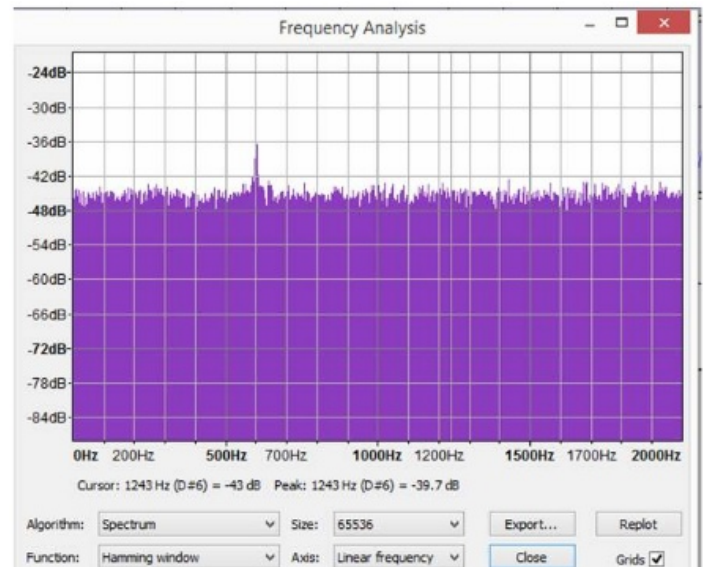
## Zwerfbestand

Bij presentatie van beschreven resultaten op eham.net blijkt er een bestand in omloop Rand-10db20wpm.wav en is gemaakt door AG1LE dat -10 dB signaalruisverhouding combineert met 20 wpm CW op 600 Hz toonhoogte volgens opgave. Enkele amateurs berichten dat zij dat beter kunnen nemen dan de door mij gefabriceerde CW op 712 Hz signaal-ruisverhouding -10 dB 12 wpm. Ruis zou natuurlijker klinken. Dat vergt dus nader onderzoek.

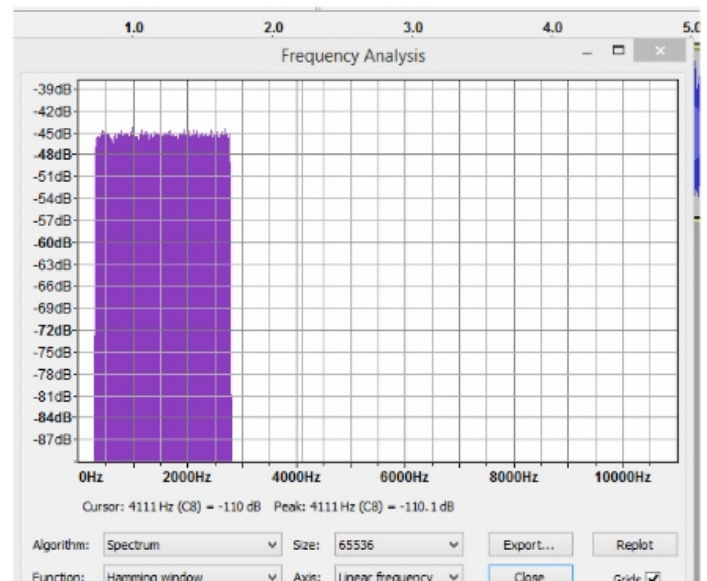
Die file via email ontvangen van Chuck NI0C. Het blijkt dat de samplerate slechts 4000 samples per seconde is, en dat hij overstuurd lijkt. Dat is inderdaad het geval. Blijkbaar is hij gemaakt met random getallen voor de monsters en dus van DC tot 2000 Hz lopend. Echter door oversturing vertoont de amplitudeverdeling enorme pieken door, ten gevolge van limiting, veel te vaak voorkomende maximum en minimum amplitude. Onderstaande figuren tonen de amplitude verdeling van de door mij gemaakte SSB ruis 300 - 2800 Hz en de amplitudeverdeling van het bestand van AG1LE.



Oversturing leidt tot een blokgolf en die heeft veel harmonischen zodat je met 4000 samples te laag bemonstert om die harmonischen mee te nemen, die vind je dus terug in aliasing (vouwoverspraak). Dat blijkt ook als je de spectra bekijkt:



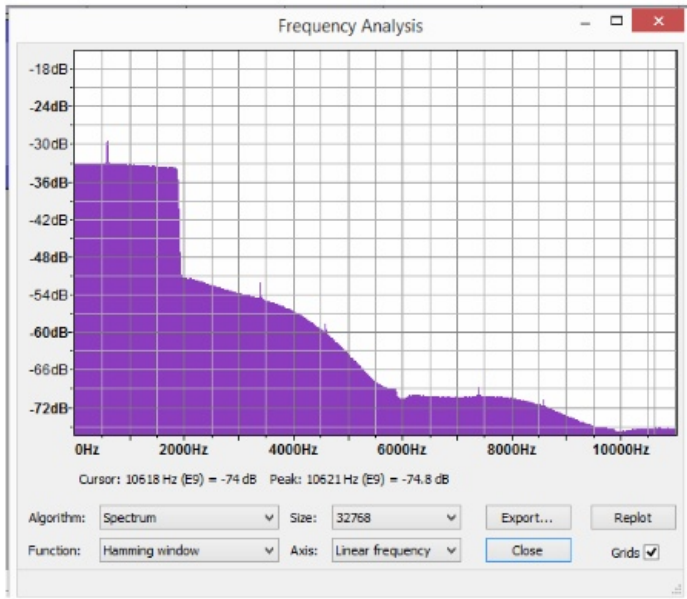
Dit doet me afvragen wat resampling van het originele signaal met een hogere sampling rate voor resultaat zou hebben.



Daartoe zowel mijn eigen geproduceerde 300-2800 Hz als het bestand van AG1LE herbemonstert op 11000 samples/s met Audacity.

Als resultaat blijkt dat het door mij geproduceerde signaal geen spectrumcomponenten boven 2800 Hz erbij krijgt maar dat van

AG1LE wel hele lappen, Dat is in feite dus de uitgevouwen vouwoerspraak.



Dat bestand van AG2LE dus niet gebruiken anders dan voor oefening van opnemen van CW in ruis, waar NI0C het ook voor gebruikte.

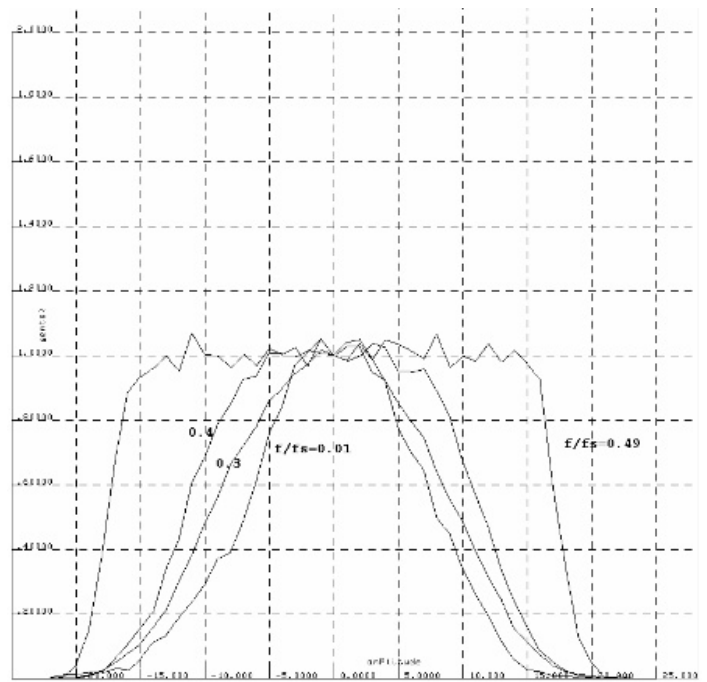
**Gefilterde witte ruis.**

We hebben eerder gezien dat ruis gevormd door random getallen een spectrum heeft dat vlak verloopt tussen 0 en de halve samplefrequentie. Ik verbaasde me toen over de Gausse verdeling van ruis op de band en zelf geproduceerde bandbegrensde ruis, met de sinussommatiemethode.

Nu leek me het moment gekomen om dat nader te onderzoeken. Ik heb daartoe een laag-doorlatend digitaal filter geprogrammeerd met variabele grensfrequentie.

De volle bandbreedte van random-getallen witte ruis loopt van 0 tot 0,5 fs, de halve samplefrequentie. Het filter gaf ik een doorlaatband van 0,49 fs. De output blijkt dan nog een vrijwel vlakke pdf te vertonen (alle amplitudes van monsters komen even vaak voor). Bij grensfrequentie  $fg=0,4$  fs en lager treedt de gausse verdeling al duidelijk op, gevolg van het central limit theorema, alleen de breedte van de klokform krimpt wat bij lagere grensfrequenties. Een combinatiegrafiek voor  $fg$  tussen 0,49 fs en 0,01

fs is hieronder afgedrukt.

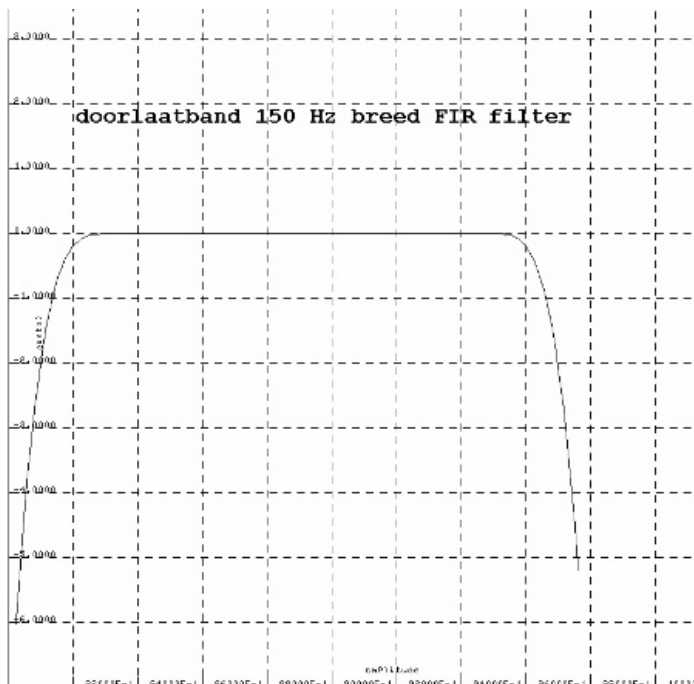


**Gekozen methode voor CW filteren**

Om CW in bandbepaalde ruis te maken lijkt het me achteraf verstandiger om niet de oorspronkelijke ruisvrije CW op te tellen bij een bandbepaald ruissignaal, maar om CW in een SSB brede ruisband opgeteld, die vervolgens te filteren met een CW filter waar beide (2,5 kHz brede ruis en CW) gezamenlijk doorheengaan. Een en ander is ook van belang in verband met de transient response van het filter, die wijzigingen in het signaal geeft en om eventuele spectrumcomponenten van CW buiten de CW band gegarandeerd te elimineren.

De werkwijze is dan als volgt:

1. Bepaal in de doorlaatband de demping van het CW filter. Die is niet geheel vlak. Resultaat bovenaan de volgende bladzijde. Niet noodzakelijk maar wel interessant. Omdat het filter niet vlak is in het doorlaatgebied kunnen de zijbandfrequenties van het CW signaal verzwakken en aldus een wat andere stijgtijd vertonen.
2. Stuur uitsluitend SSBband brede ruis 300-2800 Hz door het filter en bepaal de verhouding  $r$  van het ruisvermogen op de ingang vergeleken



met het tot 150 Hz bandbepaalde ruisvermogen op de uitgang. We zagen eerder dat dit idealiter 12,2 dB zou moeten zijn, omdat het ruisvermogen evenredig is met de bandbreedte.

3. Bepaal zonder ruis de dempingsfactor  $c$  voor een aan het filter aangeboden CW signaal, door totale energie die het filter ingaat en uitkomt op elkaar te delen.

4. Voeg CW en ruis op de ingang van het filter samen in een zodanige verhouding dat met de kennis opgedaan in punt 3 en 2 de gewenste S/N verhouding op de uitgang van het filter wordt bereikt. Dat wil zeggen dat op de uitgang de S/N verhouding  $r/c$  maal de bekende S/N is op de ingang van het filter.

Een en ander vereenvoudigt omdat de demping voor 12 wpm Morsecode 0 blijkt te zijn, die neemt trouwens aanvankelijk niet snel toe want de gemeten demping bij 40 wpm is 0,05 dB.

### De CW test

Er zijn 8 bestanden gemaakt a.wav t/m h.wav met elk 4 groepen van 5 random gekozen letters. Die bestanden staan beschikbaar op <http://pa0wv.home.xs4all.nl/eham/a.wav> etc. dus b.wav t/m h.wav De bestanden zijn beurtelings

CW in 2,5 kHz brede ruis, en vervolgens na het CW filter (met andere karakters), Het begint als eerste met CW in SSB-brede ruis met minus 10 dB signaalruisverhouding en loopt dan steeds 1 dB naar beneden per paar tot minus 13 dB S/N. Altijd is de S/N na het filter 12,2 dB beter door het wegsnijden van het grootste deel van de ruis. Voor het ruissignaal is steeds hetzelfde bestand gebruikt.

### Resultaten

Gemiddeld percentage fouten van de 4 deelnemers aan de test

-10 dB SSB filter errors	0,75%
na CW filter	2,50%
-11 dB SSB filter	12,5%
na CW filter	16,25 %
-12 dB SSB filter	32,5%
na CW filter	21,25 %
-13 dB SSB filter	65%
na CW filter	52.5 %

De test is 288 keer gedownload, maar er hebben slechts 4 personen resultaten ingezonden. Buiten enkele oude rotten die verklaarden alleen maar ruis te horen.

### Conclusie CW metingen

Het CW filter knapt de S/N 12,2 dB op, - 10 dB wordt dus 2,2 dB, maar het foutenpercentage blijft ruwweg gelijk. We kunnen dus concluderen dat het brein van de ham die naar Morse luistert reeds als bandfilter werkt, dat op 712 Hz niet breder en mogelijk smaller is dan 150 Hz. Het Morsefilter levert dus geen betere ontvangst op in ruis, de foutkans is nagenoeg gelijk, maar uiteraard snijdt het wel hinderlijke QRM weg. Het vermeende voordeel in zendvermogenswinst waar ik van uitging van 12,2 dB ten gevolge van het gebruik van een CW filter aan de ontvangstkant bestaat dus niet. Zelf controleren met de beschikbaar staande bestanden kan u wellicht beter overtuigen.

## Spraak

We willen SSB met CW vergelijken, dus nu is spraak aan de beurt om nauwkeuriger bekeken te worden. Het NAVO-alfabet dat oorspronkelijk 7119 monsters per seconde bevatte omdat ik de ruis van de websdr geluidsopname wilde gebruiken, is herbemonsterd met 8000 monsters per seconde. Lastig want ik moest dan alle 52 woordgrenzen in het bestand weer bepalen en intikken.

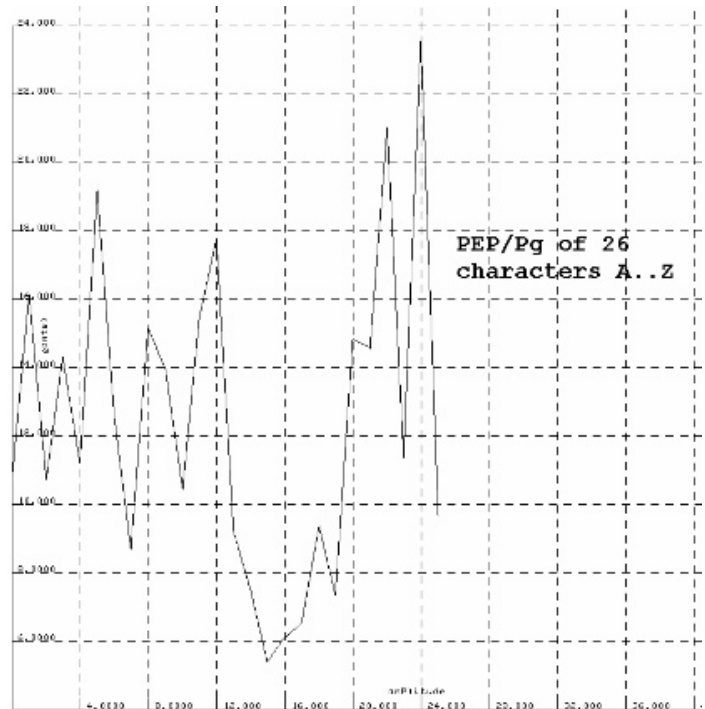
Vervolgens is het bestand door het SSB filter gestuurd, en de uitgang van het filter in drijvende kommanotatie opgeslagen als bestand navodoub. Ruis met SSB bandbreedte 300-2800 Hz was al voor de CW test aangemaakt als een doubles file met titel druis.bak.

Controle van druis.bak is gebeurd door die om te zetten in een wav file, en daarvan het spectrum te bekijken met Audacity. Perfect.

Ik had al eerder bemerkt dat het spectrum van mijn spraak niet beperkt is tot een bandbreedte van 2,5 kHz zodat dat het filter daar alsnog voor zorgt. De output van het filter is eveneens opgeslagen als doubles. Echter van elk woord dus 52 stuks is de verhouding PEP/Pg bepaald (zie grafiek hiernaast) en in de representatie van elk woord in de doubles bestand een andere versterkingsfactor toegepast, zodat alle navo woorden die daarin te kiezen zijn, dezelfde PEP hebben.

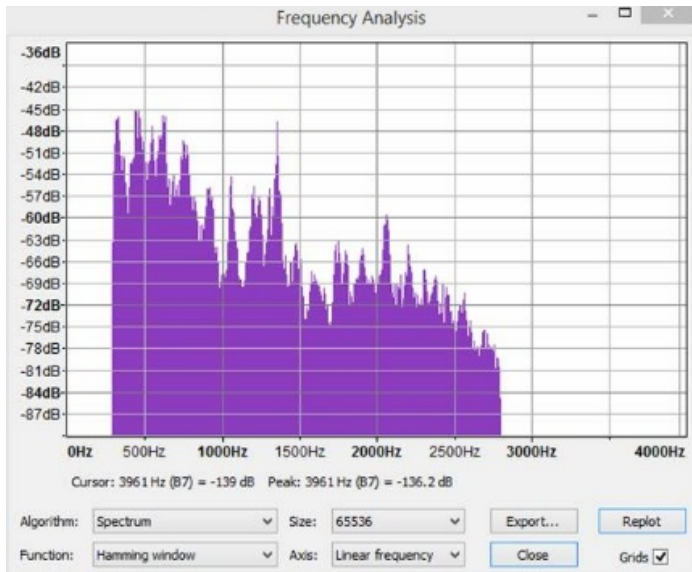
Compressie kan dan de verhouding PEP/Pg verbeteren, maar dat is nu nog niet aan de orde.

Als controle is het navodoub bestand getest door het van achter (zoeloe) naar voren (alfa) om te zetten in een wav bestand en dat af te spelen. Gaat ook perfect. Tevens is het spectrum van die spraakbestand bekeken en ook dat is keurig beperkt tussen 300 en 2800 Hz.



A	max= 32760.00	PEP/Pgs= 10.90
B	max= 32760.00	PEP/Pgs= 11.87
C	max= 32760.00	PEP/Pgs= 11.81
D	max= 32760.00	PEP/Pgs= 12.47
E	max= 32760.00	PEP/Pgs= 14.55
F	max= 32760.00	PEP/Pgs= 21.44
G	max= 32760.00	PEP/Pgs= 12.05
H	max= 32760.00	PEP/Pgs= 9.06
I	max= 32760.00	PEP/Pgs= 16.24
J	max= 32760.00	PEP/Pgs= 14.43
K	max= 32760.00	PEP/Pgs= 9.90
L	max= 32760.00	PEP/Pgs= 15.59
M	max= 32760.00	PEP/Pgs= 16.88
N	max= 32760.00	PEP/Pgs= 10.30
O	max= 32760.00	PEP/Pgs= 7.27
P	max= 32760.00	PEP/Pgs= 6.16
Q	max= 32760.00	PEP/Pgs= 6.11
R	max= 32760.00	PEP/Pgs= 6.35
S	max= 32760.00	PEP/Pgs= 10.51
T	max= 32760.00	PEP/Pgs= 7.21
U	max= 32760.00	PEP/Pgs= 14.84
V	max= 32760.00	PEP/Pgs= 16.02
W	max= 32760.00	PEP/Pgs= 16.72
X	max= 32760.00	PEP/Pgs= 12.61
Y	max= 32760.00	PEP/Pgs= 22.88
Z	max= 32760.00	PEP/Pgs= 8.69

overall PEP/Pgs words only= 11.09



- Ssb6.wav 15%
- Ssb5.wav 20%
- Ssb4,wav 25%
- Ssb3.wav 25%
- Ssb2.wav 35%
- Ssb1.wav 35%
- Ssb0.wav 70%

Opvalt dat de spreiding veel groter is dan bij CW, daar nam het aantal fouten zeer snel toe als de S/N verhouding slechter werd aangeboden.

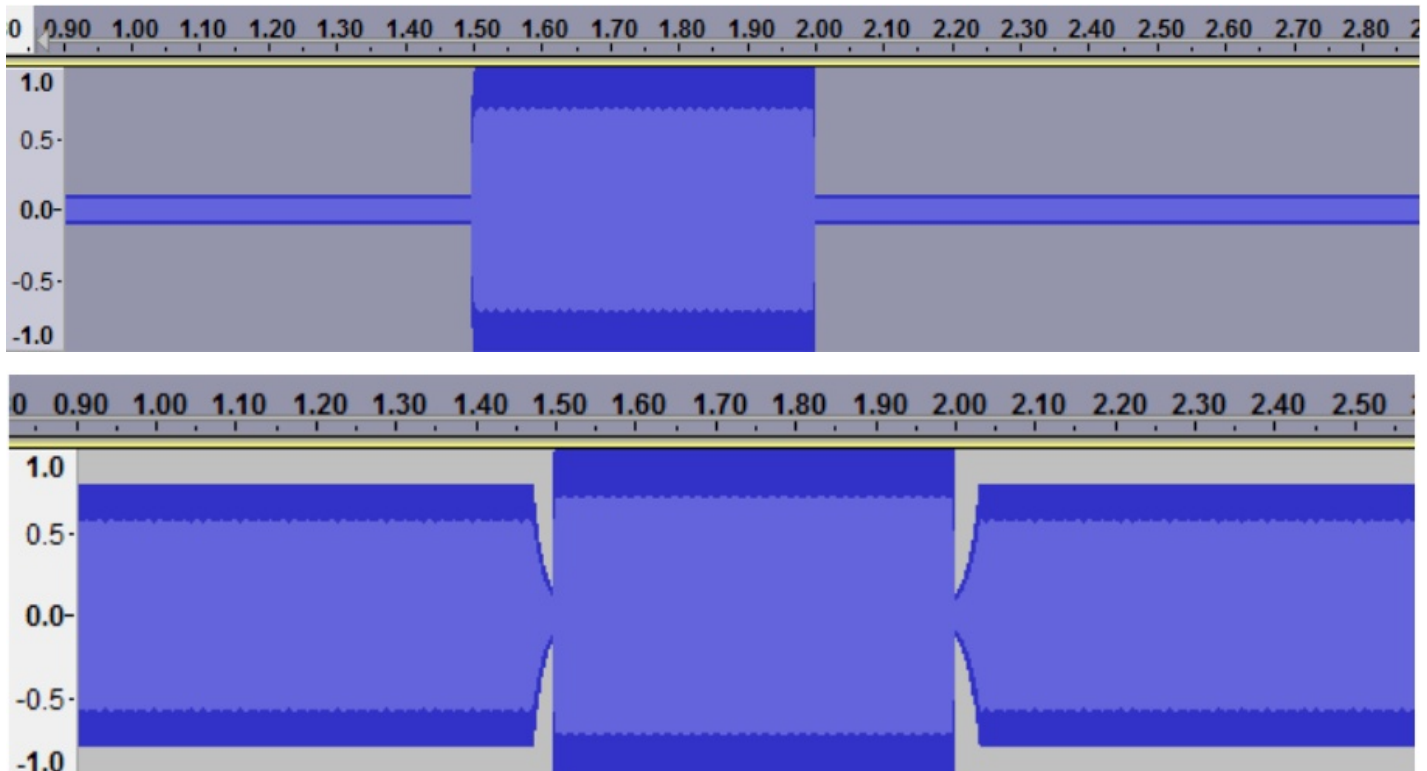
### Compressie van het NAVO-alfabet

Samenvattend hebben we nu dus een bestand van navowoorden, elk woord afzonderlijk afspelbaar, met elk dezelfde PEP, dat we gaan gebruiken om daar een random greep woorden in te doen en die tezamen op de erbij opgetelde ruis tot de gewenste signaalruisverhouding in een wav bestand te zetten. Testbestanden bestaan uit 10 random letters uitgesproken in NAVO alfabet met alle letters dezelfde PEP en een signaalruisverhouding van 6 dB tot 0 dB

Je pompt bij gelijke PEP meer energie de ether in als je verhouding PEP/Pg afneemt. Die verhouding drukken wordt compressie genoemd

Gemiddelde foutkans van de respondenten in opnemen:

Je kunt comprimeren door te knippen en dan met een filter de harmonischen die buiten de band vallen wegsnijden, dat geeft weer nieuwe pieken en dat proces kun je een paar keer herhalen want het convergeert enigszins. Niet fraai, want je krijgt ook inband componenten die er niet thuishoren gratis bij.





Andere methode is als je een sterker signaal ziet aankomen de versterking terug te draaien en als het sterke signaal voorbij is weer de versterking op te draaien. De achtergrondlawaai wil je niet versterken dus je kunt beneden een drempel dat effect niet toepassen.

Voordeel is data door dat langzaam volumevariëren je een vorm van amplitudemodulatie introduceert en die heeft geringere zijbandbreedte naarmate je langere attack en release-tijden van die amplituderegeling aanhoudt. Harmonischen in- en outband krijg je er denk ik niet mee. Voorbeeld het oscillogram hierboven, het eerste zonder compressie en het tweede met.

Met Audacity is compressie uitgevoerd, dat kan automatisch met behoud van PEP.

De gebruikte parameters zijn:

Threshold -26 dB

Noisefloor -65 dB

Ratio 10:1

Attacktime 0,01 s

Releasetime 0,1 s

Op Internet is een handleiding te vinden die de werking verduidelijkt. Je kunt de werking ook zien of de geluidsdisplay van Audacity als je een sinusvormig signaal met volle amplitude genereert, voorafgegaan en gevolgd door een sinus met een tiende van de amplitude. Na de compressie kun je dan het spectrum bekijken, dat mag dan bijvoorbeeld geen harmonischen bevatten.

Hoewel zwakkere geluiden opgehaald worden en de omgevingsachtergrondgeluid tussen woorden in pauzes opvallend groeit, blijkt PEP/Pg van een geluidsbestand aanzienlijk te verGROTEN na compressie.

Programma, dat dat vaststelt nagelopen en getest met morse. De Pg/PEP van morse Paris bestand blijkt 0,434 te zijn in plaats van theoretisch 0,44. Dat geringe verwaarloosbare verschil ontstaat wellicht door de niet oneindig steile stijg- en daaltijden, die ten koste van de

mark-duur gaan en dus Pg verlagen. Een test met PARIS met stijg- en daaltijd 0 bevestigt dat vermoeden. Een probeersel met een morsetoonhoogte van 3,5 kHz levert hetzelfde resultaat als op 712 Hz in het SSB filter.

Een periode van een sinus van 1/20 Hz in een wav file gezet van 20 s lang, en die als proefexemplaar gebruikt. PEP/Pg blijkt inderdaad 1 te zijn (op 5 decimalen nauwkeurig)

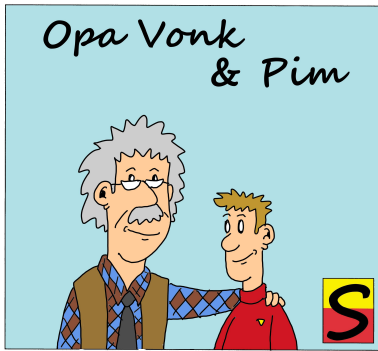
Op eham.net een discussie gestart, gecomprimeerde files daar blijken een slechtere PEP/Pg te hebben dan mijn nato bestand, dus ik zie daar verder van af. Een uitnodiging aan het aan het forum deelnemende publiek om een wav file te leveren die met een bandbreedte van 300 tot 2800 Hz een betere PEP/Pg heeft dan de door mij gemaakte bestand leverde geen resultaat op.

Wel werden twee demo spraakbestanden aangeleverd door W6RZ gecomprimeerd (PEP/Pg 4.45) en zelfde bestand niet gecomprimeerd (PEP/Pg=47,47 die een bandbreedte hadden van 15 kHz. Bij bandbeperking tot 2,5 kHz werd het gecomprimeerde bestand echter een stuk slechter (PEP/Pg=16.0) dan mijn navo bestand dat gemiddeld 11.09 is. Een heilloos pad, dat ik verder niet ga aflopen.

W6RZ.PDF staat als samenvatting beschikbaar op die filenaam geplaatst op de inmiddels gebruikelijke URL.

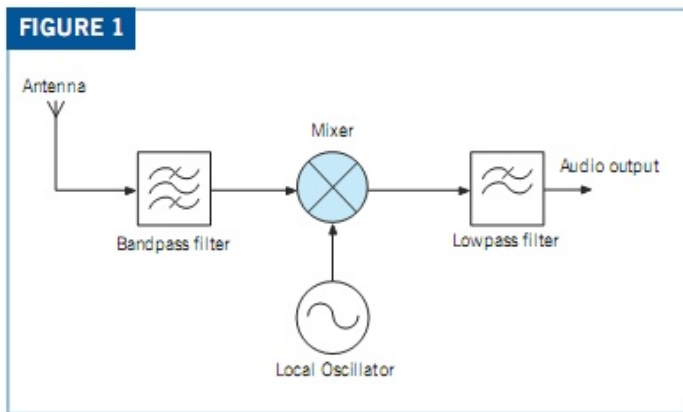
## Conclusie

1. Telegrafie in een 2,5 kHz brede ruisband is met een ongeveer 14 dB lagere S/N dan SSB betrouwbaarder te nemen dan met NAVO spelling uitgespelde SSB tekst. Bij dezelfde PEP aan zenzijde
2. Het gebruik van een smal CW filter geeft bij afwezigheid van QRM nauwelijks verbetering in de betrouwbaarheid van de opgenomen random tekst bij menselijke opname.
3. Degradation of receiving reliability is per dB S/N ratio less with SSB.



Pim keek met een hulpeloze blik in zijn ogen naar zijn Opa Vonk, die verdiept was in iets dat er meer uitzag als een medisch martelwerktuig dan iets dat

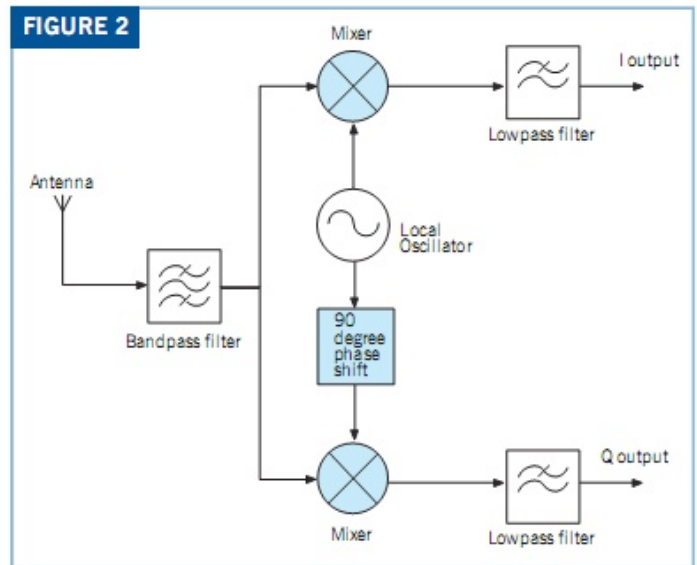
met radio te maken had, maar met zijn opa wist je het maar nooit. Opa ving Pim's blik op, en vroeg: "Is er iets?". Pim zuchtte. "Ja, ik heb een probleem met IQ", zei hij. "Dan moet je niet bij mij zijn, maar gewoon je huiswerk leren", antwoordde Opa. Pim keek boos naar Opa en zei: "Ik bedoel IQ signalen, als in kwadratuur modulatie. Ik snap niet hoe dat werkt". "Oh dat", zei Opa met een twinkeling in zijn ogen. "Ja, daar kan je wel een uurtje aan besteden. Heel leuke techniek. Want waarom heb je twee signalen nodig als het er zo op het eerste gezicht met eentje ook kan? Dat zal ik je eens haarfijn uitlegen.



In figuur 1 zie je het blokschema van een direct conversie ontvanger frontend. De door de antenne opgevangen signalen worden eerst door een filter geleid zodat alleen de signalen overblijven waar we in geïnteresseerd zijn. Vervolgens worden die signalen toegevoerd aan een mixer. Het andere signaal dat aan de mixer toegevoerd wordt is de lokale oscilator die, in het geval van een CW signaal, een paar honderd Hertz naast het gewenste signaal gezet wordt zodat er een hoorbaar verschil signaal ontstaat dat onze oren nodig hebben om het signaal te kunnen ontcijferen. Het uitgangssignaal van de mixer wordt gefilterd zodat het

verschilsignaal tussen gewenst signaal en local oscillator signaal overblijft. Aangezien het gewenste signaal in het hoorbare gebied ligt, wordt dit laagfrequent signaal toegevoerd aan de geluidskaart van de computer voor verdere verwerking.

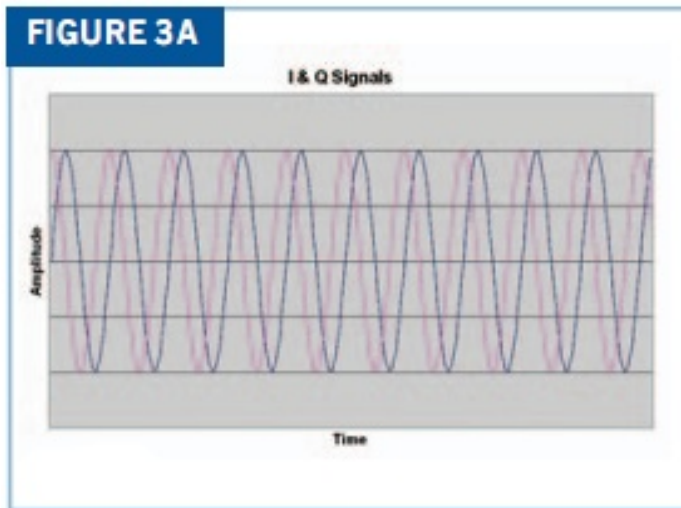
Als je naar Software Defined Radio's (SDR) kijkt bijvoorbeeld, dan ziet het eruit of er twee identieke ontvangerketens zijn. Zoals je kunt



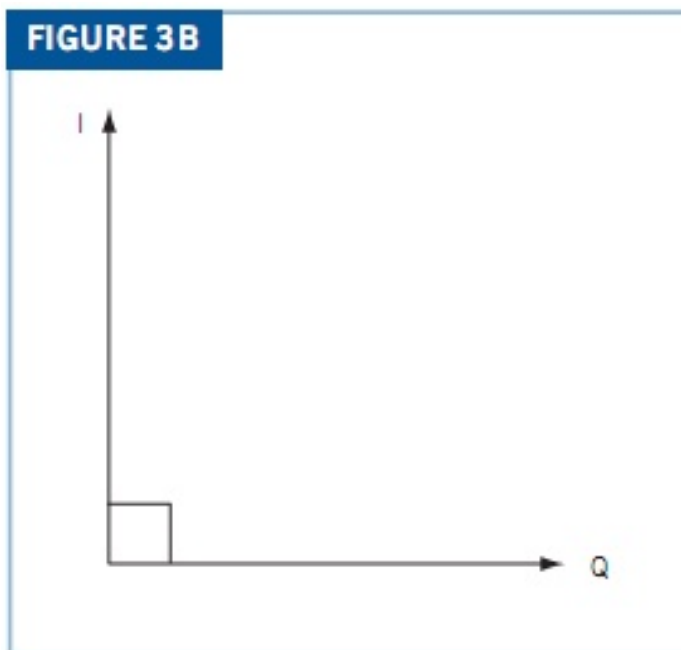
zien in figuur 2, heeft een SDR een tweede mixer waar hetzelfde antennesignaal aan toegevoerd wordt als de eerste, die hetzelfde Local Oscillatorsignaal krijgt aangeboden met aan de uitgang hetzelfde laagdoorlaatfilter. De uitgang van deze tweede ontvangerketen lijkt hetzelfde laagfrequent signaal op te leveren als de eerste keten.

Maar toch zijn de twee signalen niet helemaal hetzelfde. Als je nog eens goed naar figuur 2 kijkt, zie je dat het Local Oscillator signaal dat naar de tweede mixer gaat, door een blok heen gaat waar "90 graden faseverschuiving" op staat. Dat betekent dat hoewel de frequentie van het Local Oscillator signaal wel hetzelfde is als bij de eerste mixer, de fase  $90^\circ$  verschoven is. Deze 90 graden faseverschuiving (of faseverschil) is ook aanwezig op elk signaal dat door de tweede mixer gaat, en dus is ook het laagfrequent signaal dat uit de tweede mixer komt,  $90^\circ$  verschoven ten opzichte van het signaal uit de eerste mixer.

Een twee-kanaals scope die verbonden wordt met de uitgangen van de beide mixers zou een beeld kunnen geven zoals te zien is in figuur 3a.



De twee signalen kunnen ook weergegeven worden als twee vectoren met gelijke amplitude onder een hoek van 90°, zie figuur 3b. Beide

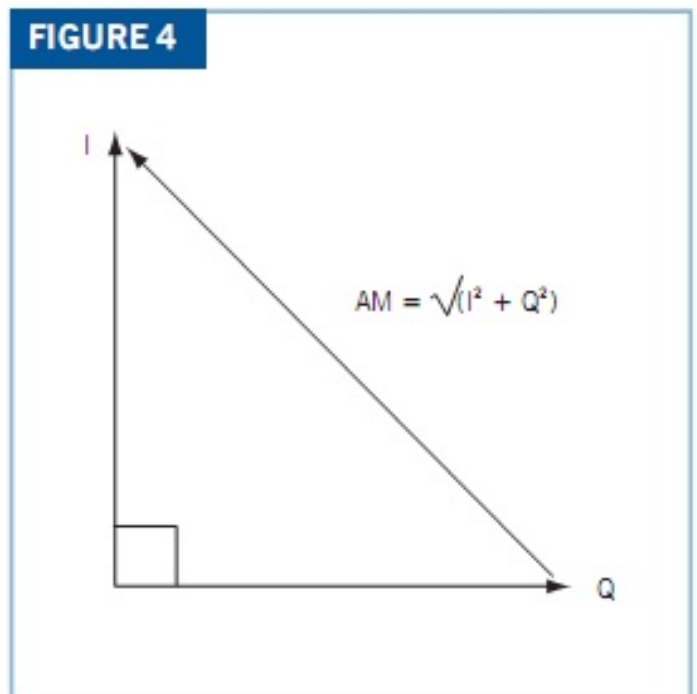


vectoren draaien rond met de snelheid die gelijk is aan het verschilsignaal uit de mixers, maar figuur 3b toont een 'snapshot' op enig moment in de tijd, dus lijken ze stil te staan.

De weergave van de I/Q signalen in de vorm van een vector is heel nuttig. Van de twee laagfrequent signalen wordt wel gezegd dat de 'in kwadratuur' zijn, of 'fase kwadratuur', en zijn gelabeld als 'I' (In fase) en 'Q' (Kwadratuur, dat in het Engels met een Q geschreven wordt). De afspraak is dat het signaal dat het eerste zijn

topwaarde bereikt, het 'I'-signaal genoemd wordt. De twee I en Q signalen samen worden ook wel een *complex signaal* genoemd.

Maar waarom zou je al die moeite doen om twee 90 graden in fase verschoven signalen te maken? Iemand heeft ooit eens gezegd: "Geef me I/Q en ik kan alles demoduleren". En dat is letterlijk waarom we ons al deze moeite getroosten. Als je I en Q signalen tot je beschikking hebt, kan je *elk* signaal demoduleren, of het nou AM is, of SSB, CW, PSK31 etc. of een modulatiesoort waar alleen nog maar van gedroomd wordt. Omgekeerd, in het geval van zenden in plaats van ontvangen, als je de juiste I en Q signalen opwekt, kan je elke modulatiesoort uitzenden.



Laten we nu eens kijken naar een paar modulatiemethoden en zien hoe die te demoduleren zijn als er I en Q signalen beschikbaar zijn.

Voor het demoduleren van een AM signaal gebruiken we de beroemde Stelling van Pythagoras die zegt dat het kwadraat van de schuine zijde gelijk is aan de som van de kwadraten van de andere twee zijden van de driehoek (het bekende  $a^2+b^2=c^2$ ). Voor de amplitude van het AM signaal nemen we nu de wortel uit de som van  $I^2$  en  $Q^2$ , zie figuur 4.

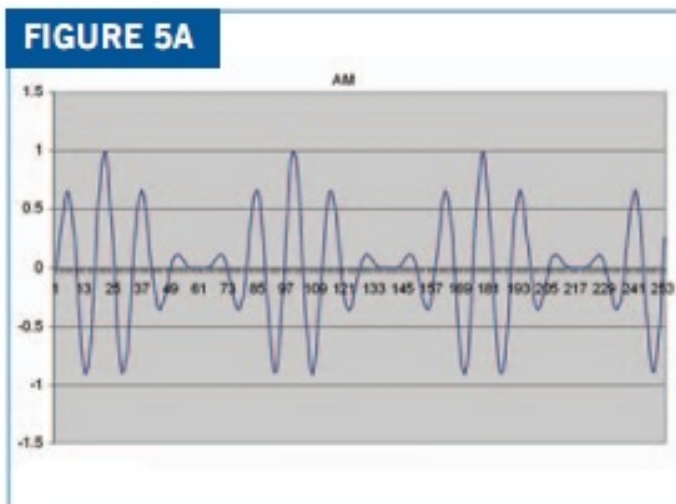
$$AM = \sqrt{(I^2 + Q^2)}$$

Zowel de grootte van de I als van de Q vector varieert met de amplitude van het signaal, en dus varieert de schuine zijde eveneens met de amplitude van het signaal. Dat is een makkelijke berekening. In de source code van het open source programma PowerSDR ziet dat er als volgt uit:

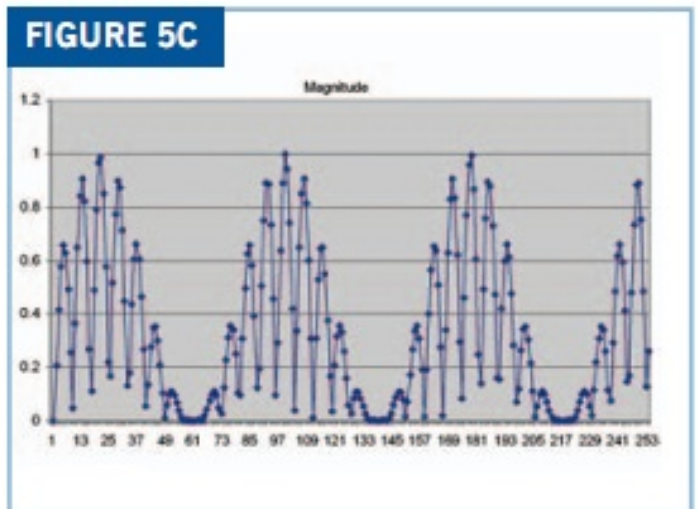
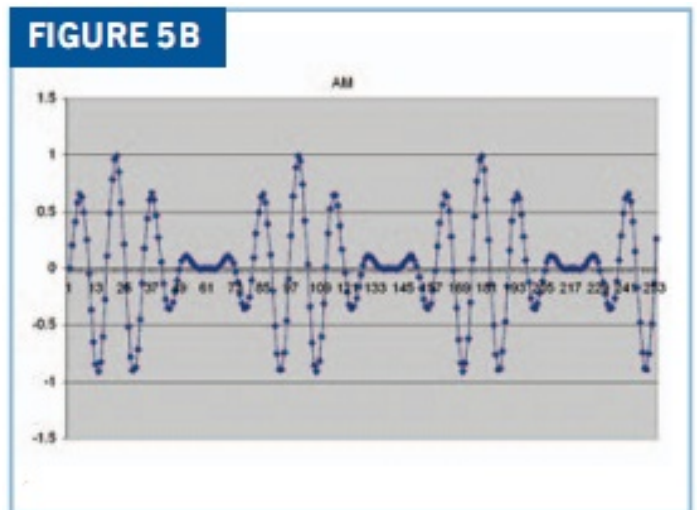
```
am->lock.curr = Cmag(CXBdata (am->ibuf, i));
```

Nou zal je je afvragen: Als zowel het I als het Q signaal zelf al amplitude gemoduleerd zijn, waarom neem je dan niet gewoon één van de twee signalen en meet daarvan de amplitude, dan heb je immers meteen de modulatie.

Maar er is een goede reden om dat niet te doen en in plaats daarvan zowel het I als het Q signaal te gebruiken. Laten we eens aannemen dat we het inkomende signaal naar beneden gemengd hebben naar een frequentie waar de geluidskaat mee overweg kan (10Hz tot 20kHz). We nemen aan dat ons signaal omlaag gemengd is naar 10kHz en amplitude gemoduleerd is met een 1kHz sinus. Als gevolg daarvan zien we op de ingang van de geluidskaat een signaal zoals getoond in figuur 5a.



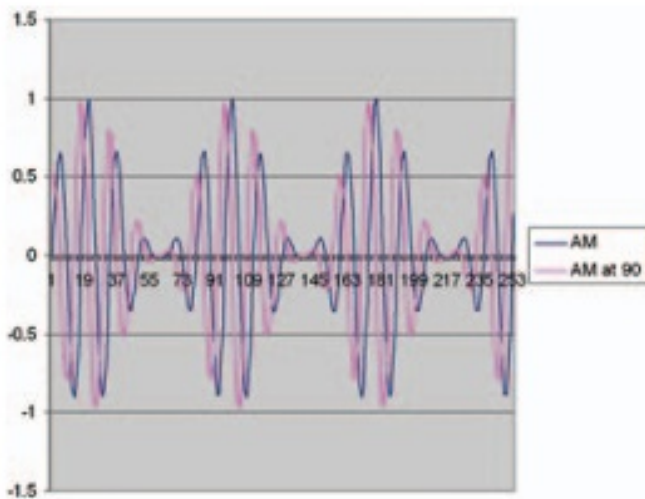
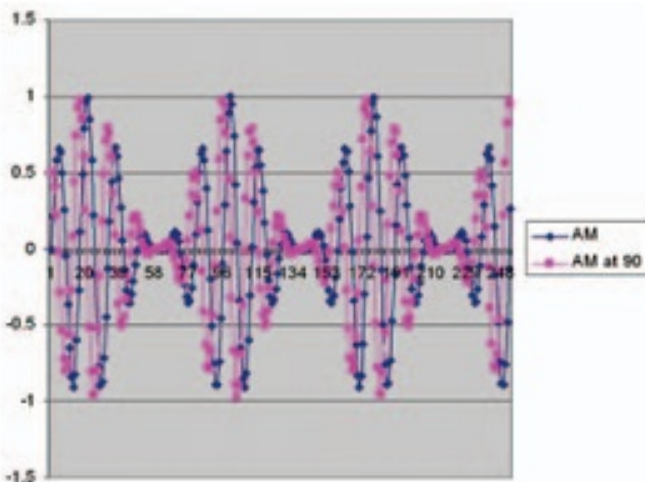
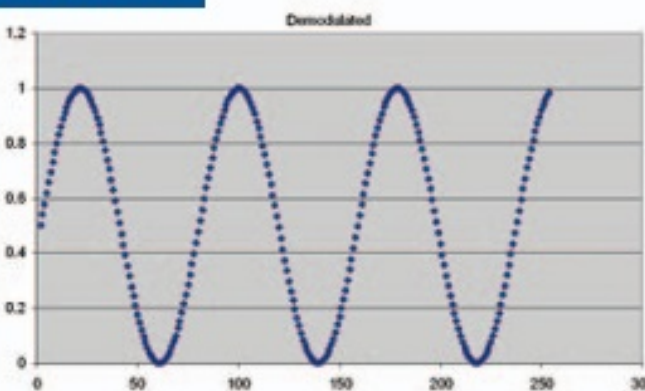
In de geluidskaat converteren we het signaal naar een reeks monsters die als stippen weergegeven zijn in figuur 5b. We berekenen dan de grootte van elk monster, en dat resulteert in het signaal zoals weergegeven in figuur 5c.



Als we dit signaal direct zouden aanbieden aan de D/A converter van de geluidskaat, dan zou in het resultaat een heel sterke 10kHz component zitten. We zouden daarvoor het signaal door een laagdoorlaatfilter heen kunnen halen voordat we het aan de geluidskaat aanbieden, maar laten we eens kijken wat er gebeurt als we de I en Q signalen gebruiken, zoals we eerder voorstelden.

Figuur 6a op de volgende bladzijde toont de I en Q signalen zoals ze aan de geluidskaat worden toegevoerd. Merk op dat de 10kHz draaggolven 90° uit fase zijn. Net als bij het eerdere voorbeeld, bemonsteren we de beide draaggolven met de geluidskaat, en dat resulteert in de waarden zoals weergegeven met zwarte stippen in figuur 6b.

Vervolgens passen we de stelling van Pythagoras toe en het resulterende signaal is te zien in figuur 6c.

**FIGURE 6A****FIGURE 6B****FIGURE 6C**

Merk op dat de 10kHz draaggolfcomponent niet meer zichtbaar is in het uitgangssignaal. Door gebruik te maken van de I en Q signalen hebben we de noodzaak om het uitgangssignaal te filteren, geëlimineerd.

Wat dat nog mooier maakt, is als we bijvoorbeeld het AM ingangssignaal naar beneden hadden gemengd naar een nog lagere middenfrequentie, bijvoorbeeld 1kHz. Aangezien dat in het spectrum van een normaal AM signaal ligt, zou het onmogelijk zijn om de draaggolf nog uit het geluid te filteren. Maar door de I en Q signalen te gebruiken, verschijnt de middenfrequent niet in het uitgangssignaal. En weet je wat het mooie is? Dat werkt ook als de middenfrequent 0Hz is...

### CW en SSB demodulatie

Laten we nu eens kijken hoe we een CW en een SSB signaal kunnen demoduleren. Dat zouden we kunnen doen door de local oscillator in figuur 1 op een geschikte mengfrequentie te zetten zodat we of een mooi audiotootje voor CW krijgen, of de ontbrekende draaggolf voor SSB zodat er weer audio ontstaat. En hoewel dat werkt, zijn er toch voordelen aan het gebruiken van de I en Q signalen.

Laten we dat eens verder analyseren. Als we aannemen dat het gewenste CW signaal op 14,101MHz zit en we wensen een audio toontje van 1kHz, dan zouden we de lokale oscillator op 14,100MHz af kunnen stemmen, want:

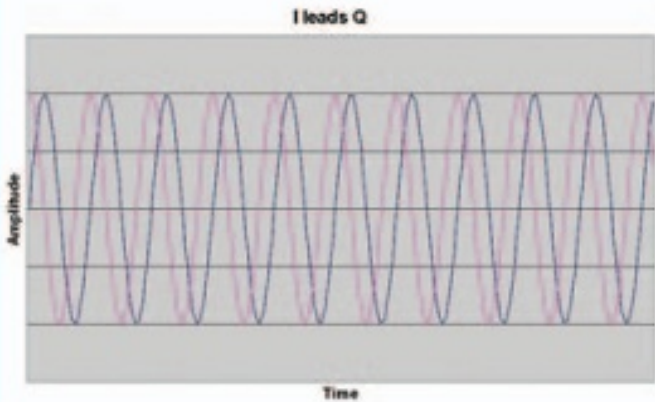
$$14,101MHz - 14,100MHz = 1kHz$$

Maar, als we een ander, ongewenst, CW signaal op 14,099MHz hebben, dan produceert die ook een 1kHz toontje, want:

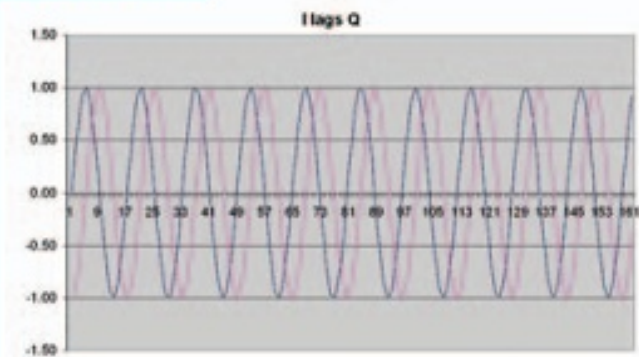
$$14,100MHz - 14,099MHz = 1kHz$$

Als we naar de I en Q golfvormen kijken die het resultaat zijn van het toevoeren van 14,101MHz aan de SDR ontvanger van figuur 2, dan zien we twee 1kHz golfvormen met 90 graden faseverschil, zie figuur 7a. Merk op dat het I signaal in de tijd voorloopt op het Q signaal.

**FIGURE 7A**



**FIGURE 7B**

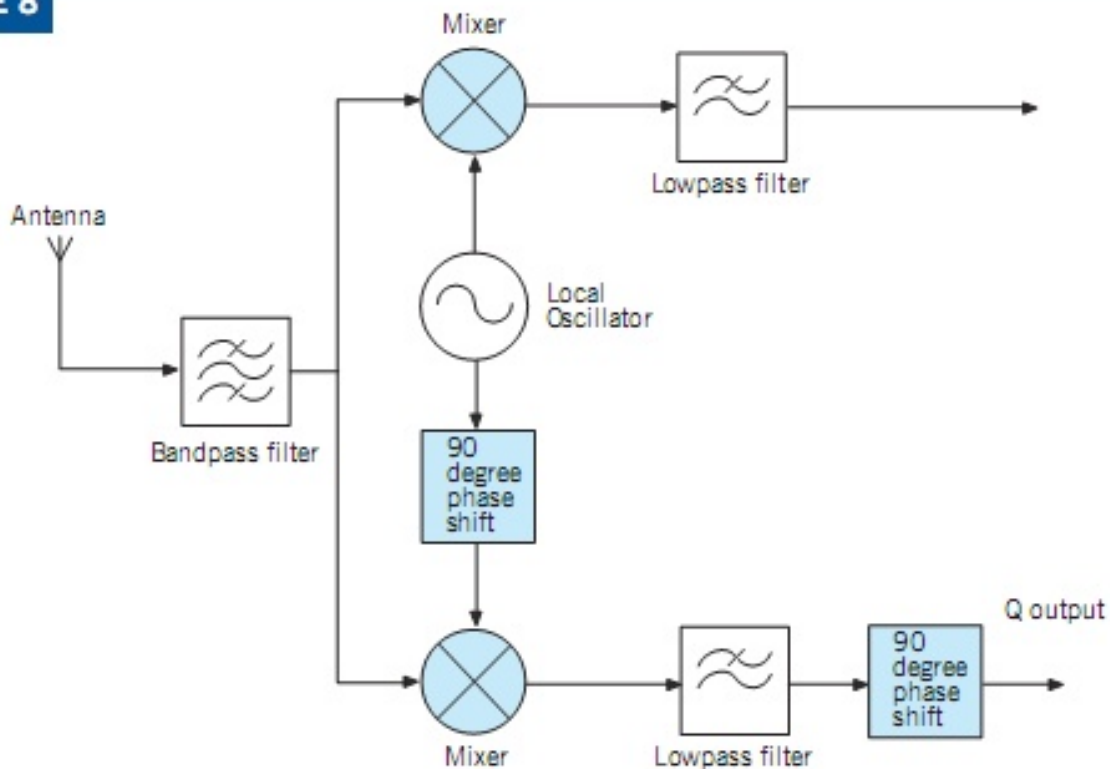


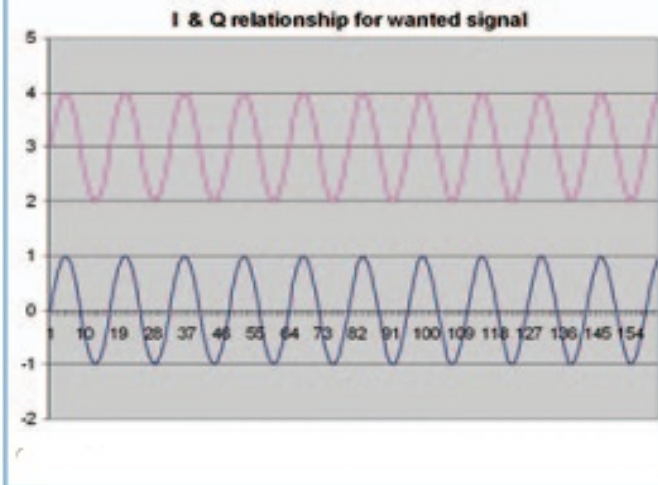
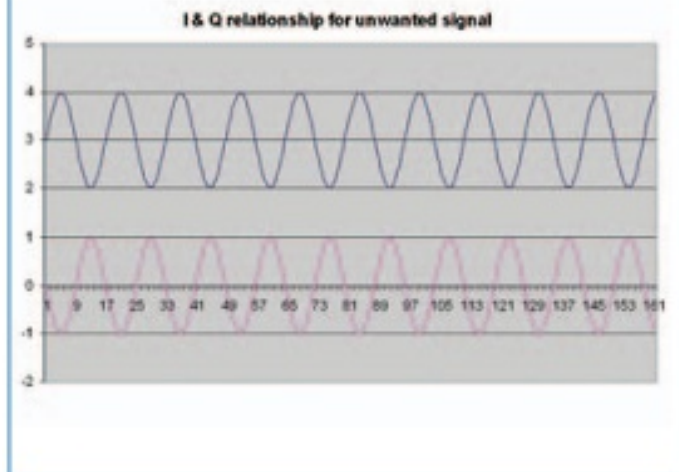
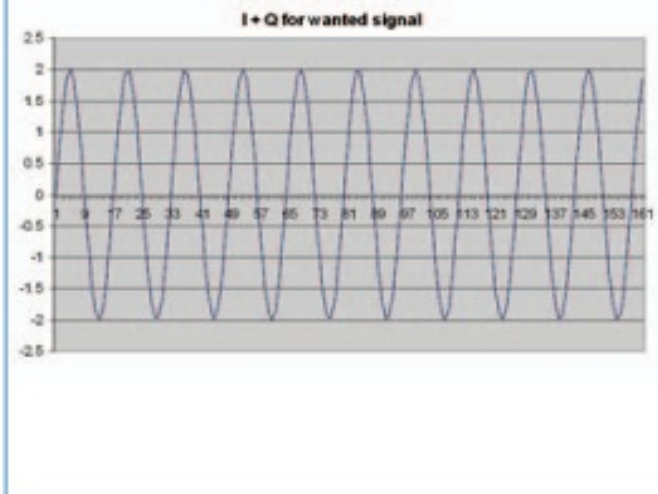
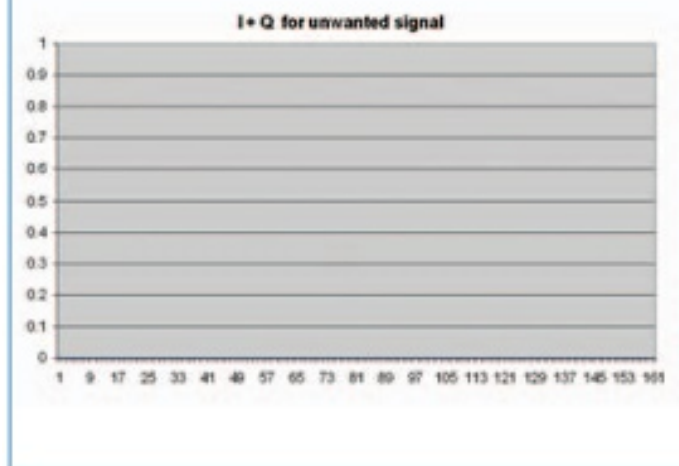
Als we nu het 14,099MHz signaal toevoeren aan de SDR ontvanger, zien we wederom twee 1kHz sinussen met een faseverschil van 90 graden, zie figuur 7b. Merk op dat het I signaal nu in de tijd achterloopt op het Q signaal, ofwel de fase van het I signaal is 180 graden verschoven. Deze faseverschuiving stelt ons in staat om het ongewenste signaal te verwijderen, en wel als volgt:

In **figuur 8** worden de I en Q signalen door twee laagdoorlaatfilters geleid. Beiden hebben dezelfde frequentie karakteristiek maar de fase van alle signalen die door het Q-filter gaan worden 90 graden verschoven. **Figuur 9a** toont dan de resulterende I en Q signalen voor het gewenste 14,101MHz signaal, terwijl **figuur 9b** de resulterende I en Q signalen toont voor het ongewenste 14,099MHz signaal.

Als de I en Q signalen nu bij elkaar opgeteld worden, is in het geval van het gewenste signaal het resultaat een verdubbeling van de amplitude (**figuur 9c**), en in het geval van het ongewenste signaal is het resultaat een amplitude van nul (**figuur 9d**).

**FIGURE 8**



**FIGURE 9A****FIGURE 9B****FIGURE 9C****FIGURE 9D**

We hebben nu een ontvanger gemaakt die reageert op signalen boven de Local Oscillator frequentie (dus Upper SideBand ofwel USB) en de signalen onder de Local Oscillator frequentie negeert (Lower SideBand ofwel LSB). Als we in plaats van de I en Q signalen bij elkaar op te tellen, ze van elkaar aftrekken, dan geldt het omgekeerde en houden we LSB over en wordt USB geëlimineerd.

### Fase en Frequentie modulatie

Gegeven de I en Q signalen, dan kunnen we een Fase gemoduleerd signaal als volgt demoduleren:

$$PM = \tan^{-1}\left(\frac{Q}{I}\right)$$

En voor frequentiemodulatie gebruik je:

waarin  $n$  = de huidige sample en  $n-1$  = de vorige sample.

Zoals je kunt zien is het verwerken van I en Q signalen essentieel voor de werking van een SDR radio", besloot Opa zijn verhaal. Pim keek met grote ogen naar alle grafieken en formules. "FM laat ik even voor wat het is", zei hij, "maar dat stuk over CW en SSB en hoe je met directe conversie tóch nog onderscheid kunt maken tussen de zijbanden - dat vind ik echt magie". Opa moest erom lachen. "Radio is magie, dat weet je toch inmiddels wel Pim?"

## Verbouwing van een MFJ 9320

**O**M Nico PD9W is een fanatiek QRP-er, en heeft de beschikking over o.a. een MFJ CUB, ook wel bekend als MFJ 9320. Dat is een monoband setje voor in dit geval de 20m band (ze zijn er voor diverse banden), met een vermogen van 1-2W, een beetje afhankelijk van de band. De set is bedoeld voor een gewone seinsleutel en als je zoals Nico liever met een paddle werkt, dan moet een keyer extern aangesloten worden. Verder geschiedt de afstemming met een gewone potmeter (ik had mezelf een 10-slags kado gedaan, maar wie ben ik) en dat betekent dat het hele afstembereik van 14.000 - 14070MHz in 270° doorlopen wordt. Bepalen waar je zit in de band is dan best lastig.

Dus kwam Nico op een van de verenigings-avonden naar me toe met de vraag of het mogelijk was om een pico-keyer in te bouwen, en daarnaast op een of andere manier een frequentietellertje dat hij ergens op de kop had getikt, erop aan te sluiten.



Front of the MFJ CUB



Front of the Monacor counter

## Modification of a MFJ 9320

**O**M Nick PD9W is a fanatic QRP-er, and owns amongst other rigs a MFJ CUB transceiver, also known as MFJ 9320. That is a monoband rig for in this case the 20m band (they are available for various bands), and it has an output power of 1-2W, depending on the band you have chosen. The rig is keyed with a straight key and if you prefer a paddle, as Nick does, then you have to connect an external keyer to the rig's key input. Tuning is realised with an ordinary potmeter (I would have changed that to a ten-turn potmeter) and that means the whole tuning range of 14.000 - 14070MHz is covered within a 270° turn of the knob. Finding out where you are on the band is quite a challenge then.

So when Nick visited one of our radio club meetings, he asked me if it would be possible to build a keyer into the CUB, and connect a frequency counter he obtained somewhere to the CUB so he will be able see what frequency he is working on.



Rear of the MFJ CUB



Rear of the Monacor counter



## Frequentie-uitlezing

## Frequency-readout

Eerst maar eens kijken hoe de frequentie-uitlezing te realiseren is. Daarvoor is het nodig om te begrijpen hoe de MFJ werkt, dus ben ik begonnen met het manual te downloaden. En daar staat een lijstje in met specificaties, waaronder de VFO frequentie.

First let us see how we can realize a frequency readout. That requires some knowledge about how the MFJ functions, so I first downloaded the manual. The manual contains a list with the specifications, and also the VFO frequency being used:

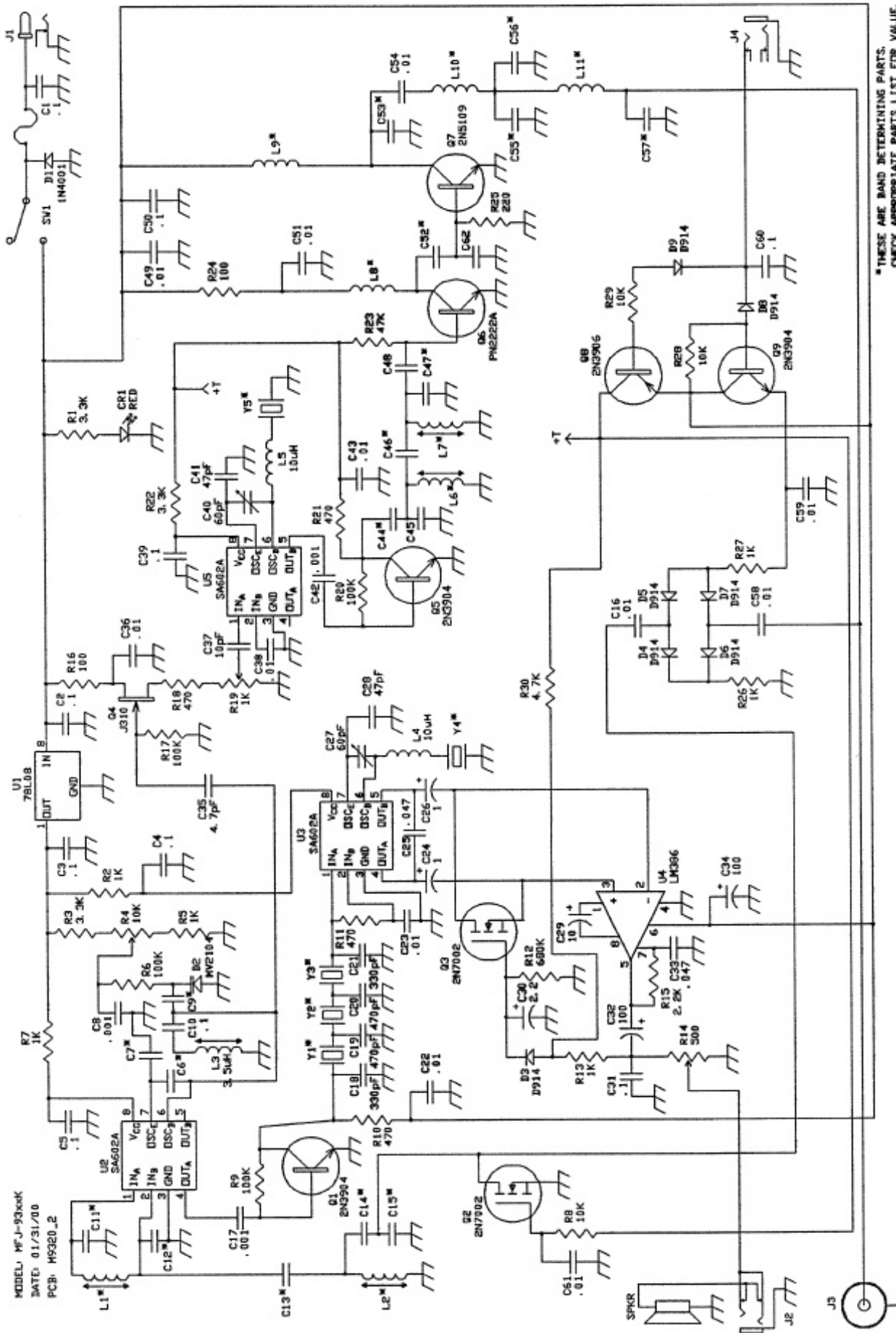
Model	VFO MHz	Tuning kHz	IF Freq MHz	-6dB Selectivity	MDS Selectivity	USB dB	Power W*	Spurs dBc
9315	9	50	12	750	<.3uV	-38	1.0	-40
9317	8.06	50	10	600	<.3uV	-45	1.5	-40
9320	4	60	10	600	<.3uV	-45	2.0	-40
9330	4.1	20	6	350	<.3uV	-56	2.0	-40
9340	5	60	12	750	<.3uV	-38	2.2	-40
9380	6	60	10	600				

Kijk, dat biedt mogelijkheden. Bij de 20m uitvoering is de VFO frequentie 4MHz. Ik kan nu twee dingen doen: de frequentieteller de zendfrequentie uit laten lezen, maar die is alleen aanwezig bij zenden, of ik kan de VFO frequentie uitlezen en dan moet je er een 1 voor denken om de frequentie uit te lezen. Maar dat werkt altijd, ook bij ontvangst. Ik overlegde met Nico en hij koos voor de tweede optie. Dat betekende wel dat de VFO op een of andere manier naar buiten gevoerd moest worden. Nou is dat normaal gesproken niet zo'n probleem, maar de MFJ is voor het grootste deel uitgevoerd met SMD componenten en daar iets bijbouwen gaat dan een hele uitdaging worden. Eerst maar eens kijken waar het VFO signaal af te takken is. Gelukkig zat in het manual ook het schema van de set.

And that offers opportunities. In the 20m version, the VFO frequency is 4MHz. I can do two things now: have the frequency counter show the transmitting frequency, but that is only possible during transmit, or I can show the VFO frequency and in that case just think of a 1 in front of the readout to represent the correct frequency. That works at all times, even during receive. I checked what Nick preferred and he chose the second option. As a result of that choice, I had to find a way to get the VFO signal to the counter. Usually that is no big deal, but the MFJ is made with mostly SMD components and adding some extra circuitry is in that case quite a challenge. First let's see where we can retrieve the VFO signal. Fortunately, the manual also contains the schematic diagram of the rig.



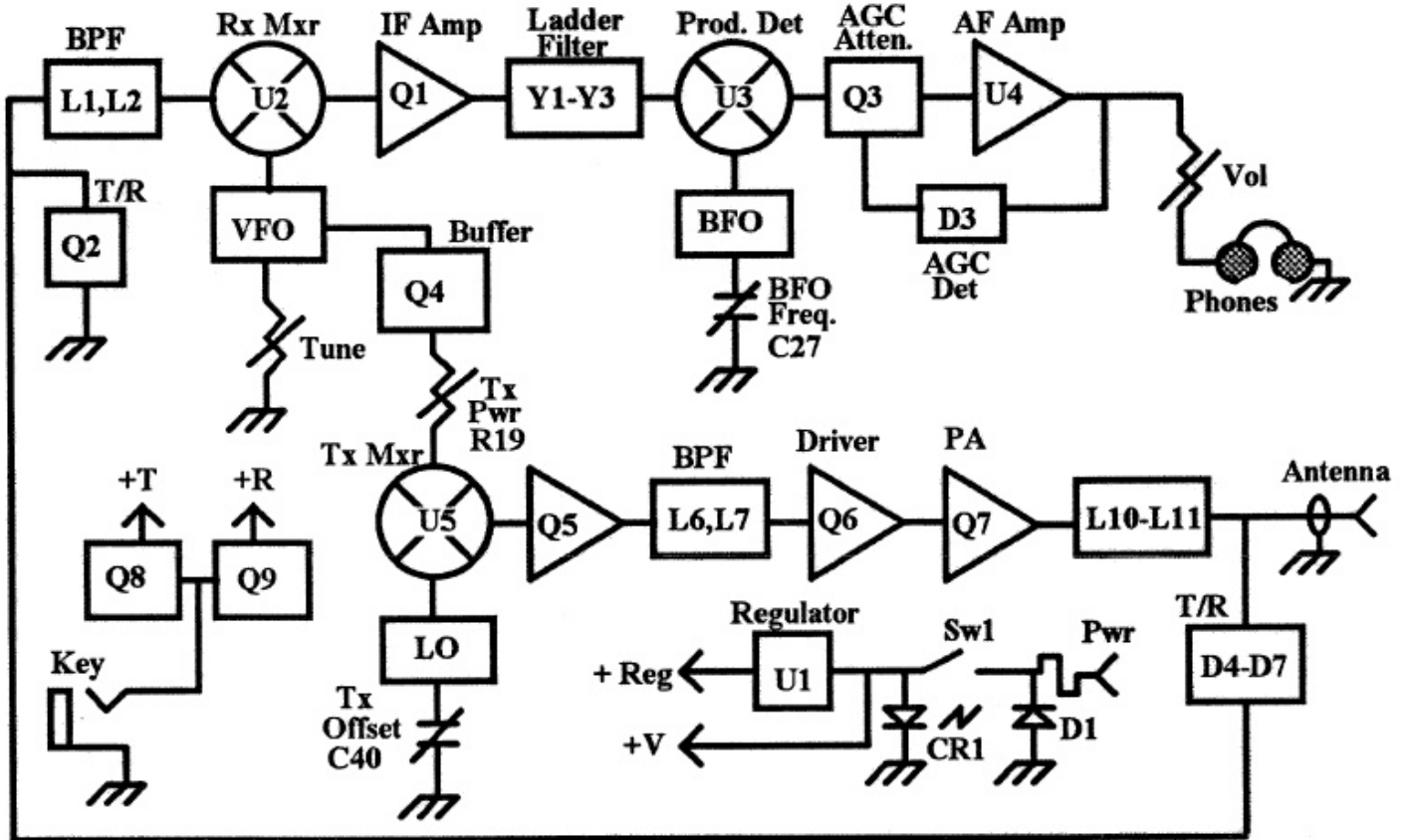
# SCHEMATIC



\*THESE ARE BAND DETERMINING PARTS.  
 CHECK APPROPRIATE PARTS LIST FOR VALUE.

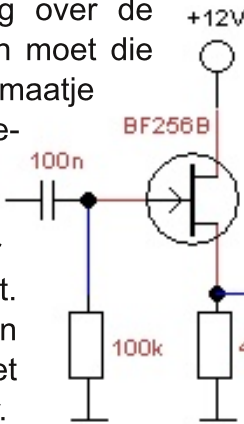
Om het schema wat duidelijker te maken, volgt hieronder het blokschema.

To clarify the schematic diagram, here is the block diagram of the CUB.



Zoals je ziet is de beste plek om het VFO signaal af te tappen achter buffer Q4, nog voor potmeter R19 die de sturing van de eindtrap regelt. Maar om te voorkomen dat de teller door terugwerking misschien rommel in de eindtrap injecteert, vond ik het verstandiger om een extra buffer toe te voegen. Nou had ik om aan het minimum bestelbedrag bij Conrad te komen, een BF256B toegevoegd zonder doel. Die had hij nu wel. Nou ben ik niet zo handig met FETs, maar uit de documentatie bleek dat als je de gate op massa legt, de stroom door de FET ergens tussen 6 en 13mA wordt. Ik neem even 10mA. Wil ik de halve voedingsspanning over de source weerstand laten vallen, dan moet die ongeveer 470 Ohm zijn. Het schemaatje wordt dan als hiernaast aangegeven. Het werkte wel, maar er ging meer signaal in dan eruit kwam. Kennelijk is dit niet de manier waarop je een sourcevolger bouwt. Dat zou geen probleem zijn geweest, ware het niet dat het signaal te laag was voor de counter.

As you can see, the best place to retrieve the VFO signal is behind buffer Q4, just before trimmer resistor R19 which adjusts the signal to the power amplifier. To prevent possible feedback from the frequency counter, that could superimpose noise on the transmitter signal, I decided to add an additional buffer amplifier. In order to meet the minimum order amount at Conrad, I added a BF256B to my wishlist, without any purpose. Now it has a purpose. I'm not very good at designing FET circuits, but reading the datasheets learned that when connecting the gate to ground, the current through the FET is somewhere between 6 and 13mA. I took 10mA for my calculations. If I want half the power supply voltage across the source resistor, it's value has to be about 470 Ohms. See the diagram on the left. It worked, but there was more signal at the input than at the output. It seems this is not the way to build a source follower. That wouldn't be too much of a problem, but the signal was not enough for the frequency counter.



Als hij net aan stond ging het nog wel, maar na een paar minuten begon de uitlezing te knippen en was niet meer stabiel. Dus het buffertje maar verbouwd door de uitgangscapacitor op massa te leggen, een extra weerstand in de drain op te nemen en daar het signaal af te takken. Dat werkte wel.

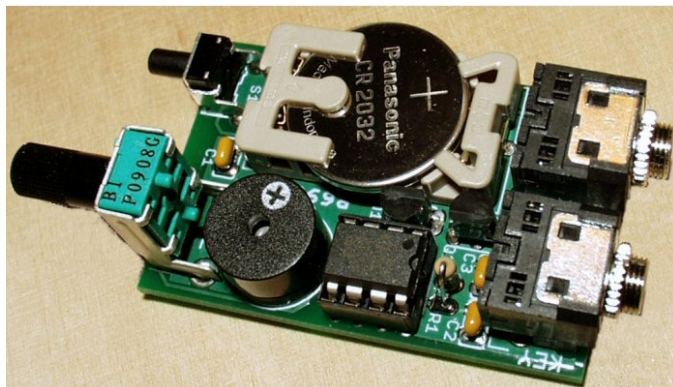
Het uitgangssignaal was nu groter dan het ingangssignaal en de uitlezing was nu stabiel.

De counter kan met zowel +5V als +12V gevoed worden, en dat is fijn, want dan kan ik 'm direct aan de voeding van de CUB hangen, achter de aan/uit schakelaar.

Voor het verbinden van de counter met de CUB besloot ik een 2,5mm stereo stekertje te gebruiken. +12V op de tip en het HF signaal op de ring. Op die manier kan Nico dan kiezen of hij de counter er wel of niet bij wil gebruiken. Als ik 'm er aan vast zou maken, moet je altijd met die twee kastjes op stap. Bovendien, zoals gezegd, lees ik de VFO uit en niet de werkfrequentie. Op deze manier kan je er later nog voor kiezen om een andere counter aan te sluiten die de mogelijkheid heeft een middenfrequent in te stellen, waardoor de uitlezing wél de werkfrequentie is. Dus moest er een gaatje bij aan de achterkant, om het 2,5mm chassisdeel in te monteren.

## De Keyer

Nico leverde tevens een doosje mee waarin een PicoKeyer zat. Een schattig klein printje met een batterij, programmeerknopje, snelheidspotmeter en twee aansluitingen voor de paddle en de verbinding naar de set. Dat is leuk, maar als je alle functionaliteiten wil behouden, dan heb je een probleem, want óf de aansluitingen voor de paddle en set steken door de achterkant, óf de snelheidsregelaar en knop door de voorzijde.



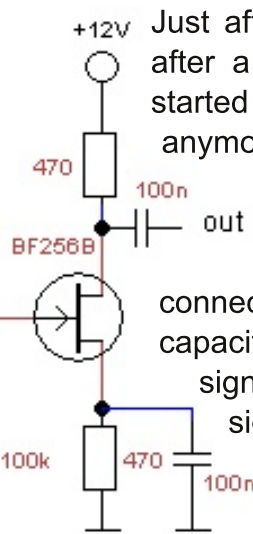
Just after powering up it was OK, but after a couple of minutes the display started to flicker and was not stable anymore. So I redesigned the buffer by connecting the output capacitor to ground, adding an extra resistor to the drain and connecting the output to the drain via a capacitor. That worked. The output signal was now larger than the input signal and the display was stable.

The counter accepts either +5V or +12V as operating voltage, and that is nice, because that way I can connect it directly to the power supply of the CUB, right after the on/off switch.

For connecting the counter to the CUB I decided to use a 2.5mm stereo jack. +12V connected to the tip and the RF signal to the ring. This enables Nick to choose whether he wants to use the counter or not. If I connect the counter directly to the CUB, you always have to travel with two interconnected devices. And, as said before, I display the VFO frequency and not the QSO frequency. In this way you have the option of connecting another counter later, with the option of correction for the IF, which makes the readout the actual QSO frequency. So another hole in the rear panel was necessary to accommodate a 2.5mm panel mount jack.

## The Keyer

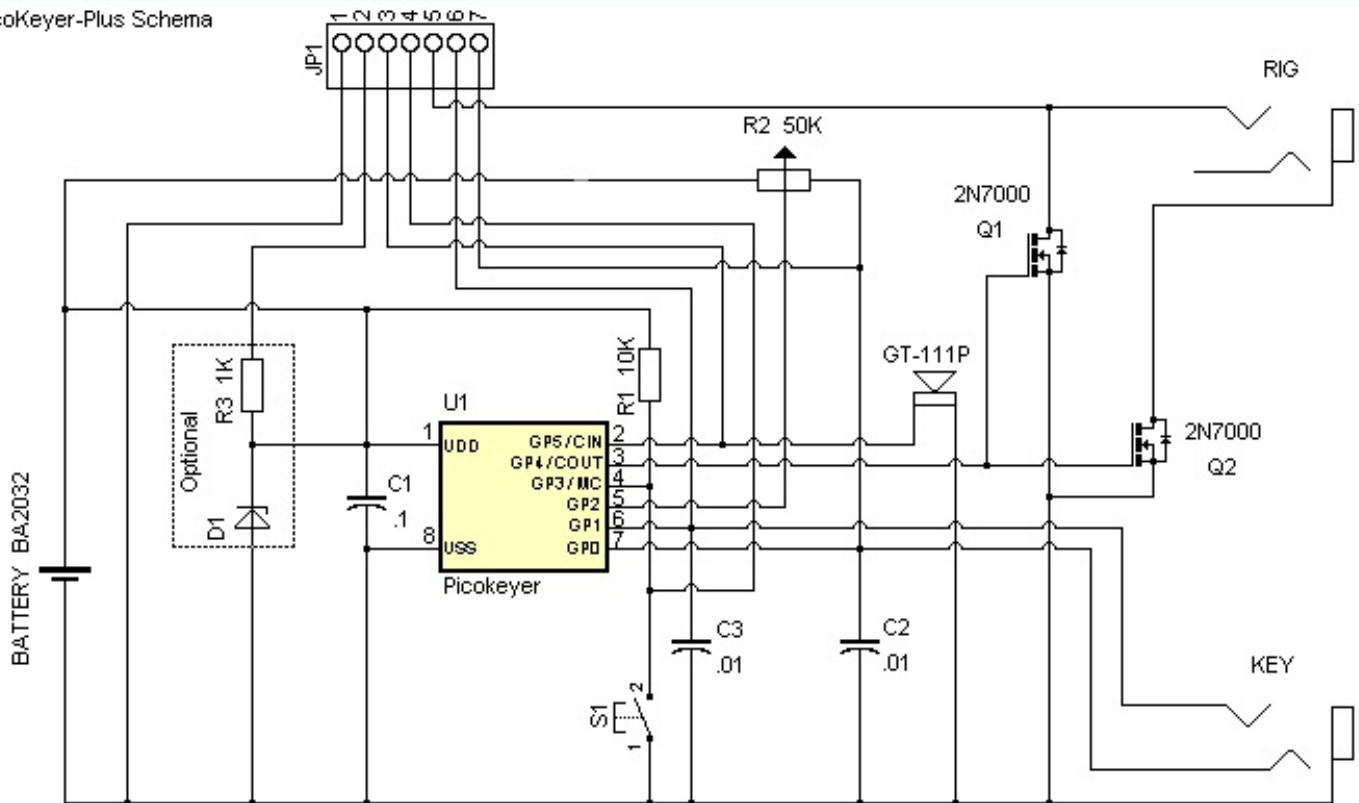
Nick also provided an small box containing a PicoKeyer. A cute little PCB with a battery, programming button, speed potmeter and two jacks for connecting an paddle and the connection to the rig. Nice, but if you want to keep all functionalities, than you have a problem, because either the rig and paddle jacks stick through the rear panel, or the speed control and



Allebei gaat niet, want het printje is minder groot dan de diepte van de CUB behuizing... Daarnaast is een batterij wel leuk, maar wat moet je ermee als de keyer toch ingebouwd gaat worden in een set die externe voeding krijgt. De oplossing: de keyer met de twee sleutel-bussen door de achterkant heen boren zodat hij meteen blijft zitten. Dan de potmeter en het drukknopje eraf slopen, en die op de voorzijde monteren. En als laatste de batterijhouder verwijderen en zorgen dat hij met 12V gevoed kan worden. Dat het kan, is te zien in het schema.

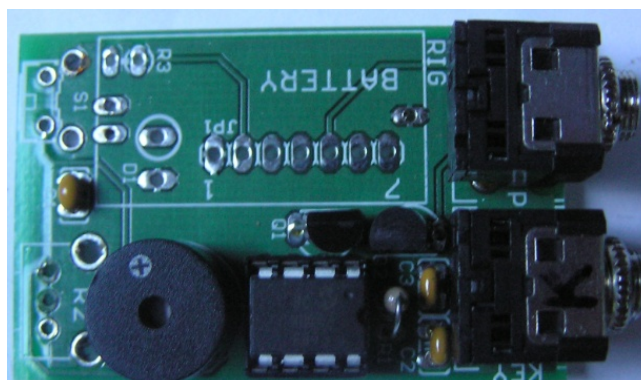
pushbutton stick through the front, but not both, because the PCB is smaller than the enclosure of the CUB... And a battery is nice, but why use a battery if you are going to embed the keyer in a rig that has an external power supply. The solution: mount the PCB on the rear panel which will additionally keep the PCB in place. Remove the speed control potmeter and pushbutton, and mount them on the front panel. Finally, remove the battery container and prepare the PCB for 12V supply. That was already foreseen, as is shown in the schematic diagram.

PicoKeyer-Plus Schema

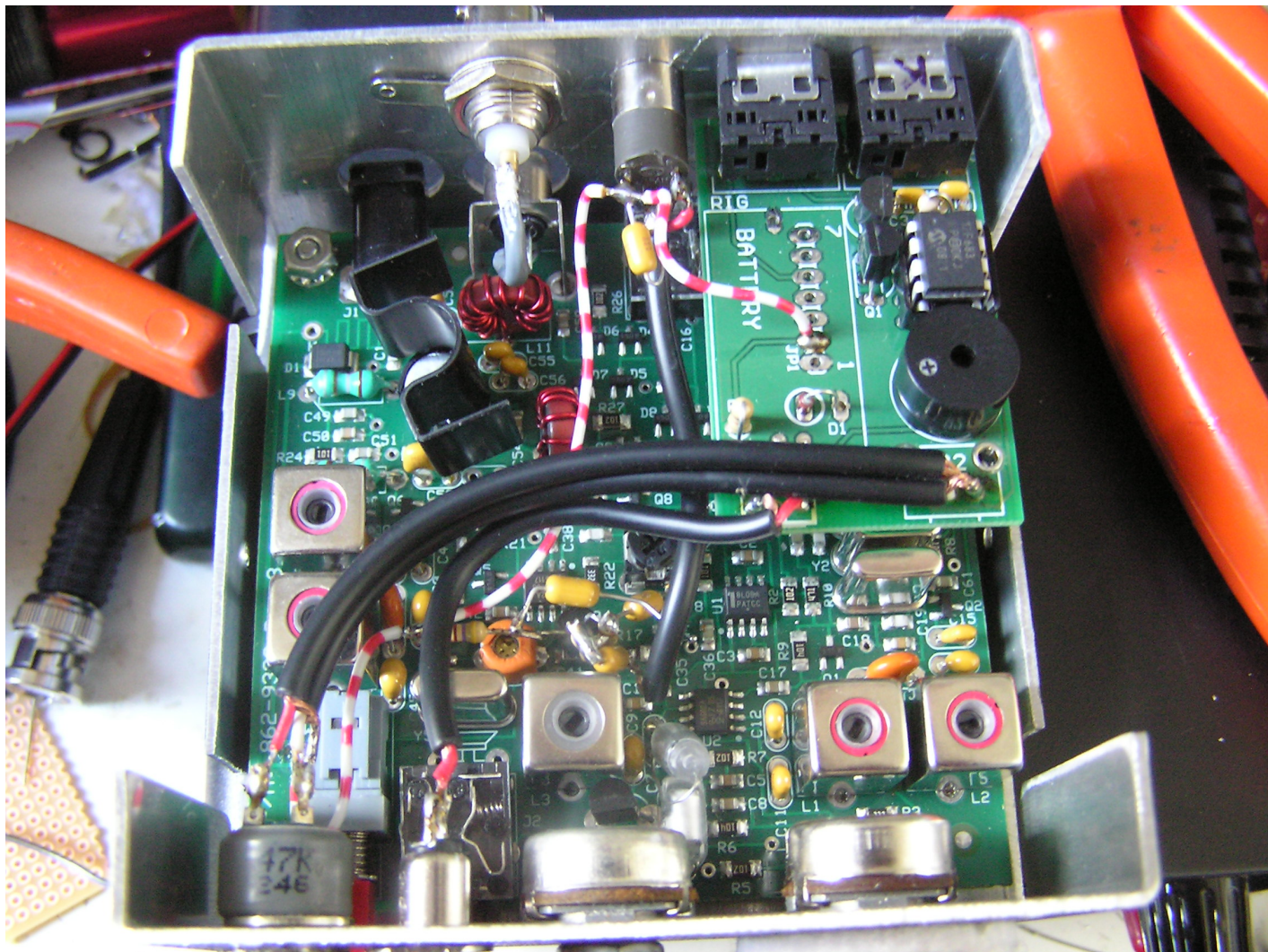


Zo gezegd zo gedaan. Het betekende dat de potmeter en de drukknop van het printje verwijderd moesten worden, en dat de batterijhouder eraf moest. Dat kostte best nog wat moeite, maar uiteindelijk hield ik een kaal printje over, zie foto hieronder. En zoals in het schema te zien is, was het mogelijk om de batterij te vervangen door een zenerdiode van 3V en een weerstand van 1k. De ruimte om die componenten te plaatsen was op de print reeds aanwezig.

This means I had to remove the speed control potmeter and the pushbutton from the PCB, and also the battery container had to be removed. That took quite some effort, but finally I had a stripped PCB, see the picture below. And as you



can see in the schematic diagram, it is possible to replace the battery by a 3V zener diode and a 1k resistor. The space for placing those components was already present on the PCB (D1 and R3 on the silkscreen).



Op de voorkant werden een miniatuur potmeter en een drukknop toegevoegd en deze werden met afgeschermd draad met de print verbonden. Op de foto hierboven is dat goed te zien. Achter de MF trafo boven de middelste potmeter is de FET buffer nog net te zien, waarvan de uitgang naar de 2,5mm bus op de achterzijde van de set gaat.

### Het eindresultaat

Bij het testen bleek dat de middenfrequent toch niet precies 10MHz was en de VFO frequentie dientengevolge dus ook geen 4MHz bij 14.000MHz output. Het scheelde 4kHz. Als de teller 4.064 aangeeft, zit je op 14.060. Niet dat dat erg is, zolang je het maar weet. Ook de keyer werkte als een zonnetje. Wat handig is, is dat je een voorkeurssnelheid in kunt geven. Draai je de snelheidspotmeter helemaal naar links, dan neemt hij jouw voorkeurssnelheid aan.

A miniature potmeter and a push button were added to the front panel and are connected with the keyer printed circuit board via shielded wire. This is clearly visible on the picture above. Behind the IF transformer above the center potmeter you can just see the FET buffer, whose output goes to the 2.5mm connector on the rear panel.

### The final result

During the tests it appeared that the intermediate frequency was not exactly 10MHz and hence the VFO frequency was not 4MHz at 14.000MHz output. There was a 4kHz difference. When the counter displays 4.064, your working frequency is 14.060. That is no big deal if you know it. The keyer also works like a charm. A nice feature is that you can program a preferred speed. If you turn the speed control fully counter clockwise, than it operates at your

Draai je de potmeter naar rechts, dan is er een punt dat de snelheid regelbaar wordt tussen ca. 5 en 40 wpm. In eerste instantie had ik geen side-tone meer. Door het boren in de behuizing was de trimmer voor de ontvangstfrequentie verlopen. Feitelijk blijft de ontvanger werken tijdens zenden, alleen wordt het zendsignaal zoveel gedempt dat je eigen zendsignaal een prettige sterkte krijgt om naar te luisteren. De side-tone wordt dus gemaakt door het frequentieverschil tussen zender en ontvanger, en de ontvanger was verlopen. Die heb ik weer netjes op 600Hz gezet en toen hoorde ik mezelf weer. Werkt het nou, zo'n 1,5W? Jazeker. De score in de korte tijd die ik had om 'm te proberen: F6ARL, SP3DGV, CT7AEQ, HA/DL1DUS/P, EA8YV, OE6GND en HA8GZ. QRP werken is gewoon leuk om te doen. Resten nog wat foto's van het eindresultaat.

preferred speed. If you turn the speed control clockwise, than you reach a point where the speed becomes variable between 5 and about 40 wpm. At first, the side-tone was gone. Because of the drilling in the enclosure the trimmer for the RX frequency got detuned. Actually the receiver remains active during transmit, but the transmitter signal is attenuated so much that your own signal has a comfortable level to listen to. The side-tone is made by the difference between transmitter and receiver, and the receiver got detuned. So I adjusted the side-tone to 600Hz again and I was able to hear myself again. And does it work, 1.5W? Yes it does. The score in the short time I had for testing the CUB: F6ARL, SP3DGV, CT7AEQ, HA/DL1DUS/P, EA8YV, OE6GND and HA8GZ. Working QRP is really fun. To complete the story: here are some pictures of the final result.



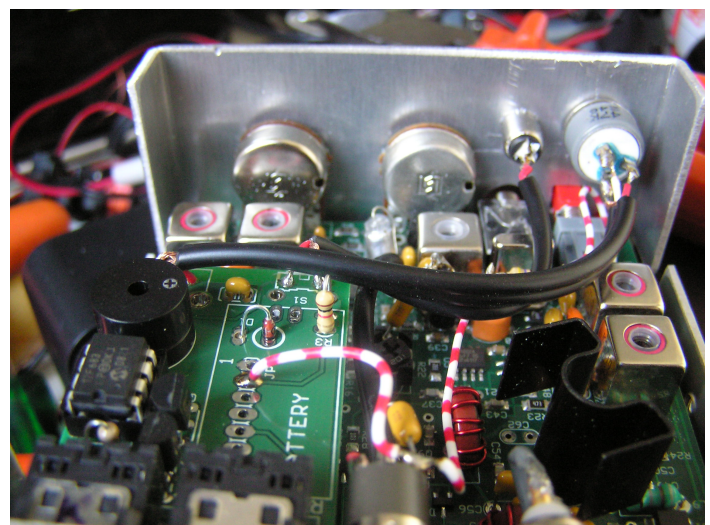
Front panel with extra controls



Rear panel with extra in/outputs. The Keyer Output is internally connected to the CUB's key input. So a straight key may still be connected to the CUB.



Working at 14.019MHz



Inner details from another angle



# Afdelingsnieuws

## Henk Zonderland PE0HZD SK



Met verslagenheid hebben wij kennis genomen van het bericht dat in de week van 22 september plotseling is overleden

### OM Henk Zonderland PE0HZD

in de leeftijd van 66 jaar.

Henk was een trouw bezoeker van onze verenigingsavonden. We kennen hem als een vriendelijk en behulpzaam zendamateer. Hij had een belangstellend luisterend oor en genoot van de vele gesprekken en ervaringen van de andere aanwezigen. Als het nodig was mengde hij zich in het gesprek en liet zijn collega's delen in zijn ervaringen op het gebied van antennes en de wijze van constructie en de bouw van zenders en transverters.

Als Henk met zijn auto onderweg was, van en naar zijn werk, naar zijn kinderen en kleinkinderen, of gewoon voor een boodschapje, dan meldde Henk zich altijd op het relais voor een onderhoudend praatje. Tijdens het gesprek liet Henk ons ook altijd weten waar precies hij

zich bevond. Hij nam ons altijd mee op zijn reis.

Kregen de amateurs er een nieuwe frequentieband bij, dan was Henk vaak een van de eerste die op deze band ging experimenteren en anderen enthousiast vertelde over zijn recente ervaringen. Velen van ons lieten zich door hem inspireren om ook maar eens op die nieuwe frequenties te gaan experimenteren.

PE0HZD is silent key. We zullen zijn markante stem missen. We wensen zijn familie veel sterkte toe bij het verwerken van dit grote verlies.

## Onweerdetector

De inschrijving voor ons onweerdetectorproject is gesloten met een respectabel aantal van 55 deelnemers. Momenteel worden nog een paar prototypes gebouwd om de kinderziekten eruit te halen en de handleiding te schrijven. En dan hopen we een hoop meer stipjes op de kaart te zien, naarmate er meer detectors online komen!

## Afdelingsbijeenkomsten

Volgende maand zijn de afdelingsbijeenkomsten op woensdag 11 en woensdag 25 oktober. De 11<sup>e</sup> hopen we de QSL-manager weer te verwelkomen voor het uitwisselen van de kaarten.

De bijeenkomsten vinden plaats in het clubhuis van de Minigolf Zoetermeer in het Vernède sportpark. Vanaf 20.00 is de ruimte geopend en iedereen met interesse in (radio)techniek is welkom. Er zijn altijd wel amateurs die interessante projecten bij zich hebben om te aanschouwen, dus kom eens langs!